

# Izračun trendova oborina i temperatura na meteorološkoj postaji Pleso u Zagrebu

---

**Bačeković, Sara**

**Undergraduate thesis / Završni rad**

**2020**

*Degree Grantor / Ustanova koja je dodijelila akademski / stručni stupanj:* **University of Zagreb, Faculty of Mining, Geology and Petroleum Engineering / Sveučilište u Zagrebu, Rudarsko-geološko-naftni fakultet**

*Permanent link / Trajna poveznica:* <https://urn.nsk.hr/urn:nbn:hr:169:215492>

*Rights / Prava:* [In copyright](#)/[Zaštićeno autorskim pravom.](#)

*Download date / Datum preuzimanja:* **2025-02-18**



*Repository / Repozitorij:*

[Faculty of Mining, Geology and Petroleum Engineering Repository, University of Zagreb](#)



SVEUČILIŠTE U ZAGREBU

RUDARSKO-GEOLOŠKO-NAFTNI FAKULTET

Preddiplomski studij geološkog inženjerstva

IZRAČUN TRENDOVA OBORINA I TEMPERATURA NA METEOROLOŠKOJ  
POSTAJI PLESO U ZAGREBU

Završni rad

**Sara Bačeković**

**G2045**

**Zagreb, 2020.**

Rudarsko-geološko-naftni fakultet

IZRAČUN TRENDOVA OBORINA I TEMPERATURA NA METEOROLOŠKOJ  
POSTAJI PLESO U ZAGREBU

Sara Bačeković

Završni rad izrađen je u: Sveučilište u Zagrebu  
Rudarsko-geološko-naftni fakultet  
Zavod za geologiju i geološko inženjerstvo  
Pierottijeva 6, 10000 Zagreb

Sažetak

Cilj ovog završnog rada je na temelju podataka oborina i temperatura zraka izračunati iznos evapotranspiracije i maksimalne dostupne vode koja se može infiltrirati u podzemlje te izračunati trendove promatranih varijabli. Korišteni podaci odnose se na postaju „Zagreb-Pleso“ te su dobiveni od strane DHMZ-a. Svi podaci interpretirani su regresijskom analizom i studentovom (t-test) metodom koja služi za određivanje statističke značajnosti. Podaci i rezultati grafički su obrađeni u Microsoft Office Excelu.

Ključne riječi: oborine, temperatura, evapotranspiracija, trend, postaja „Zagreb-Pleso“

Završni rad sadrži: 37 stranica, 24 slike, 7 tablica i 15 referenci

Jezik izvornika: hrvatski

Završni rad pohranjen: Knjižnica Rudarsko-geološko-naftnog fakulteta

Mentor: Doc. dr. sc. Zoran Kovač

Ocjenjivači: Doc. dr. sc. Zoran Kovač

Izv. prof. dr. sc. Jelena Parlov

Izv. prof. dr. sc. Dario Perković

Datum obrane: 15. svibnja 2020. godine

# Sadržaj

1. Uvod.....	1
2. Geološke i hidrogeološke značajke .....	2
2.1. Općenito o zagrebačkom vodonosniku.....	2
2.2. Postaja „Zagreb-Pleso“ .....	2
2.3. Geološke i hidrogeološke značajke promatranog područja .....	3
3. Metodologija .....	7
3.1. Regresijska analiza.....	7
3.2. Studentov test (t-test) .....	8
3.3. Izračun evapotranspiracije/korigirane evapotranspiracije i maksimalne dostupne vode za infiltraciju.....	9
4. Podaci.....	11
5. Rezultati .....	13
5.1. Prikaz godišnjih vrijednosti oborina, srednjih temperatura zraka, evapotranspiracije i maksimalne dostupne vode za infiltraciju .....	13
5.2. Mjesečni trendovi oborina i temperatura zraka .....	18
5.3. Godišnji trendovi oborina, temperatura zraka, evapotranspiracije i maksimalne dostupne vode za infiltraciju .....	31
6. Zaključak.....	35
7. Literatura.....	36

## Popis slika

Slika 2.1. Prostorni položaj zagrebačkog vodonosnika (Kukolja i Plazonić, 2018) .....	2
Slika 2.2. Lokacija meteorološke postaje „Zagreb-Pleso“ .....	3
Slika 2.3. Isječak osnovne geološke karte SFRJ 1:100.000, list Zagreb (Šikić, 1979) i list Ivanić Grad (Basch, 1981).....	4
Slika 2.4. Shematski profil zagrebačkog vodonosnog sustava (Posavec, 2006).....	5
Slika 2.5. 3D prikaz hidrogeološkog modela zagrebačkog vodonosnika (Bačani i Posavec, 2014).....	5
Slika 3.1. Dijagram raspršenosti (Mathos, 2018).....	7
Slika 5.1. Usporedni prikaz oborina i temperatura zraka na godišnjoj razini .....	15
Slika 5.2. Usporedni prikaz evapotranspiracije i korigirane evapotranspiracije na godišnjoj razini .....	16
Slika 5.3. Usporedni prikaz maksimalne raspoložive vode za infiltraciju na godišnjoj razini .....	17
Slika 5.4. Trend oborina i temperatura zraka za mjesec siječanj .....	18
Slika 5.5. Trend oborina i temperatura zraka za mjesec veljaču .....	19
Slika 5.6. Trend oborina i temperatura zraka za mjesec ožujak.....	20
Slika 5.7. Trend oborina i temperatura zraka za mjesec travanj.....	21
Slika 5.8. Trend oborina i temperatura zraka za mjesec svibanj.....	22
Slika 5.9. Trend oborina i temperatura zraka za mjesec lipanj.....	23
Slika 5.10. Trend oborina i temperatura zraka za mjesec srpanj.....	24
Slika 5.11. Trend oborina i temperatura zraka za mjesec kolovoz.....	25
Slika 5.12. Trend oborina i temperatura zraka za mjesec rujan .....	26
Slika 5.13. Trend oborina i temperatura zraka za mjesec listopad.....	27
Slika 5.14. Trend oborina i temperatura zraka za mjesec studeni .....	28
Slika 5.15. Trend oborina i temperatura zraka za mjesec prosinac .....	29
Slika 5.16. Trend ukupnih oborina i trend srednjih godišnjih temperatura zraka u razdoblju od 1981. godine do 2019. godine .....	31
Slika 5.17. Trend evapotranspiracije i korigirane evapotranspiracije u razdoblju od 1981. godine do 2019. godine .....	32
Slika 5.18. Trendovi maksimalne dostupne vode za infiltraciju .....	33

## Popis tablica

Tablica 4.1. Mjesečne i godišnje količine oborina .....	11
Tablica 4.2. Srednje mjesečne i godišnje temperature zraka.....	12
Tablica 5.1. Godišnje vrijednosti evapotranspiracije i korigirane evapotranspiracije .....	13
Tablica 5.2. Godišnje vrijednosti maksimalne raspoložive vode za infiltraciju.....	14
Tablica 5.3. P-vrijednosti i trendovi oborina.....	30
Tablica 5.4. P-vrijednosti i trendovi temperatura zraka .....	30
Tablica 5.5. P-vrijednosti i trendovi oborina, temperatura zraka, evapotranspiracije i maksimalne raspoložive vode za infiltraciju .....	34

# 1. Uvod

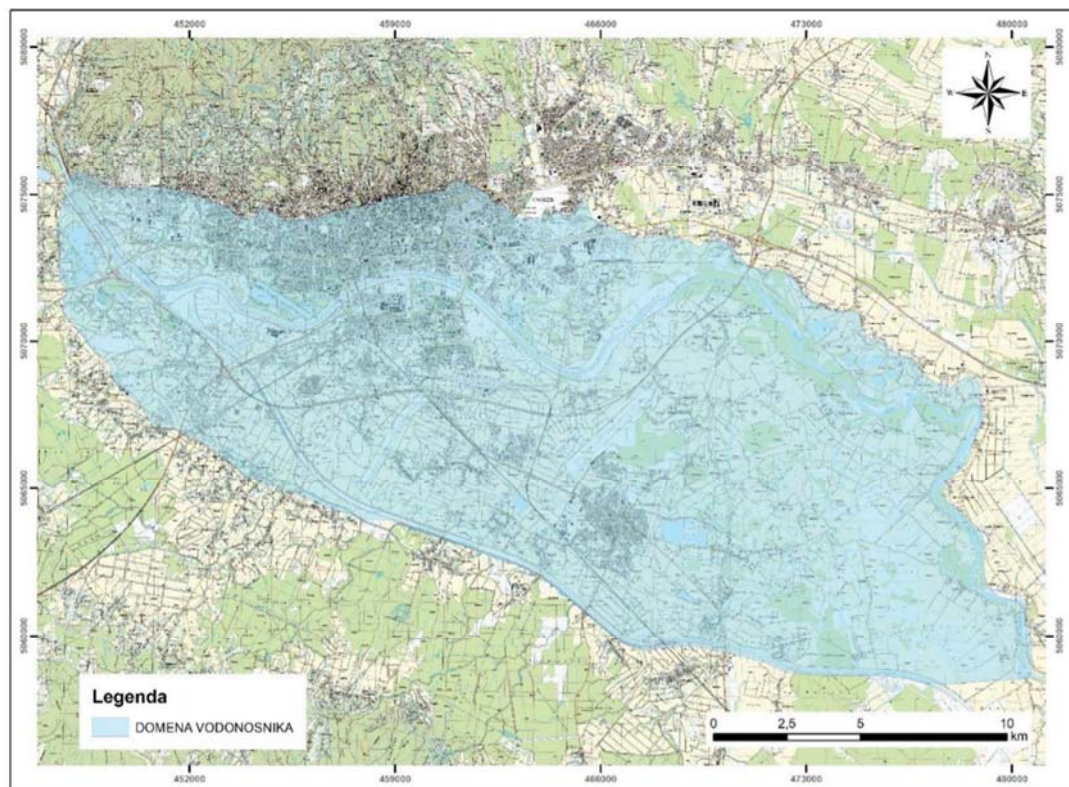
U završnom radu prikazani su trendovi oborina, temperatura zraka i evapotranspiracije. Oduzimanjem evapotranspiracije od oborina dobivena je procjena maksimalne raspoložive vode za infiltraciju tj. vode koja ima mogućnost kao dio efektivne infiltracije procijediti se do vodnog lica. Upravo ta voda obnavlja zalihe podzemnih voda i prihranjuje zagrebački vodonosnik i kao takva je u hidrogeologiji najvažnija. Prikazane su osnovne geološke i hidrogeološke značajke zagrebačkog vodonosnika te lokacija meteorološke postaje „Zagreb-Pleso“.

Završni rad obuhvaća obradu i interpretaciju podataka oborina i temperatura zraka te izračunate evapotranspiracije, korigirane evapotranspiracije i maksimalne dostupne vode za infiltraciju u razdoblju od siječnja 1981. godine do prosinca 2019. godine, uz nedostatak podataka za razdoblje od rujna do prosinca 1991. godine. Podatke je ustupio Državni hidrometeorološki zavod (DHMZ), a odnose se na postaju „Zagreb-Pleso“. Podaci su obrađeni u programu Microsoft Office Excel. Dobiveni su trendovi na temelju kojih se može vidjeti postoji li uzlazni ili silazni trend oborina i srednjih temperatura na mjesečnoj i godišnjoj razini te evapotranspiracije/korigirane evapotranspiracije i maksimalne dostupne vode za infiltraciju na godišnjoj razini.

## 2. Geološke i hidrogeološke značajke

### 2.1. Općenito o zagrebačkom vodonosniku

Područje zagrebačkog vodonosnika prostire se površinom od oko 350 km<sup>2</sup>, pravcem sjeverozapad-jugoistok, dužinom od oko 30 km i s prosječnom širinom od 10 do 15 km (Posavec, 2006). Središnjim dijelom teče rijeka Sava koja drenira sustav kada je razina podzemne vode viša od razine vodostaja. Također, rijeka Sava dijeli vodonosnik na lijevo i desno zaobalje. Na slici 2.1. vidljivo je da zagrebački vodonosnik svojim većim dijelom obuhvaća područje grada Zagreba.



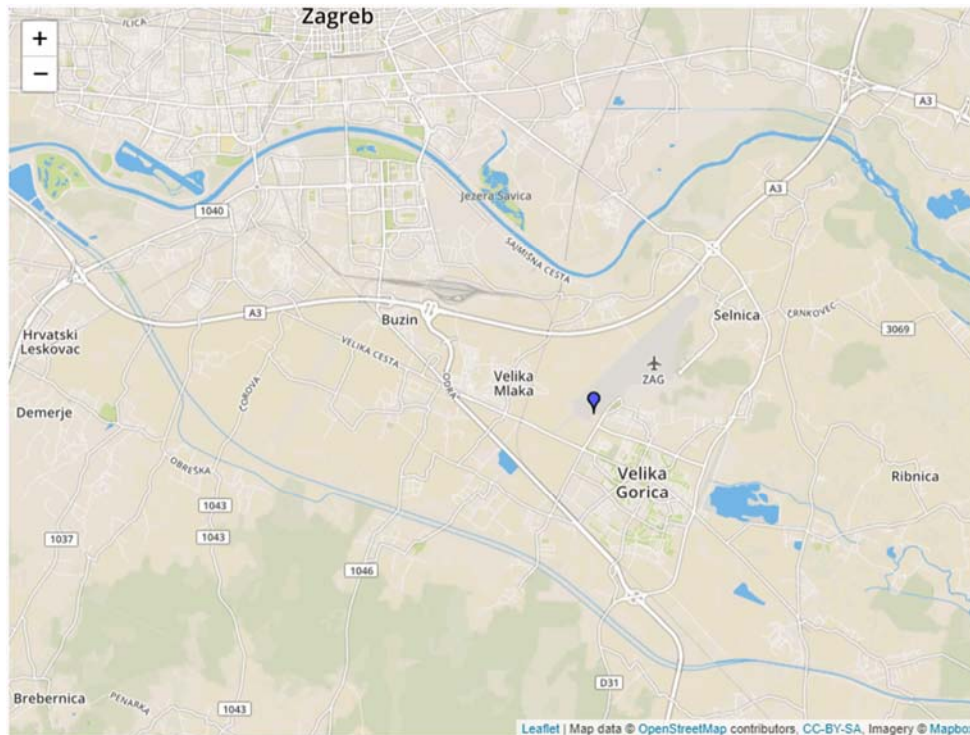
Slika 2.1. Prostorni položaj zagrebačkog vodonosnika (Kukulja i Plazonić, 2018)

### 2.2. Postaja „Zagreb-Pleso“

Glavne meteorološke postaje su postaje s 2 do 5 profesionalnih meteoroloških motritelja koje imaju ograđeno motrilište i radni prostor te obavljaju motrenja i registraciju svih



meteoroloških elemenata tijekom 24 sata, prema propisima Svjetske meteorološke organizacije i Državnog hidrometeorološkog zavoda. Glavni meteorološki elementi za izračun evapotranspiracije pa kasnije i maksimalne dostupne vode za infiltraciju bile su oborine i temperatura zraka. „Zagreb-Pleso“ jedna je od glavnih meteoroloških postaja grada Zagreba. Nalazi se na  $45^{\circ} 43' 45''$  sjeverne geografske širine i  $16^{\circ} 3' 14''$  istočne geografske dužine te na nadmorskoj visini od 106 m. Na slici 2.2. prikazana je lokacija meteorološke postaje „Zagreb-Pleso“.

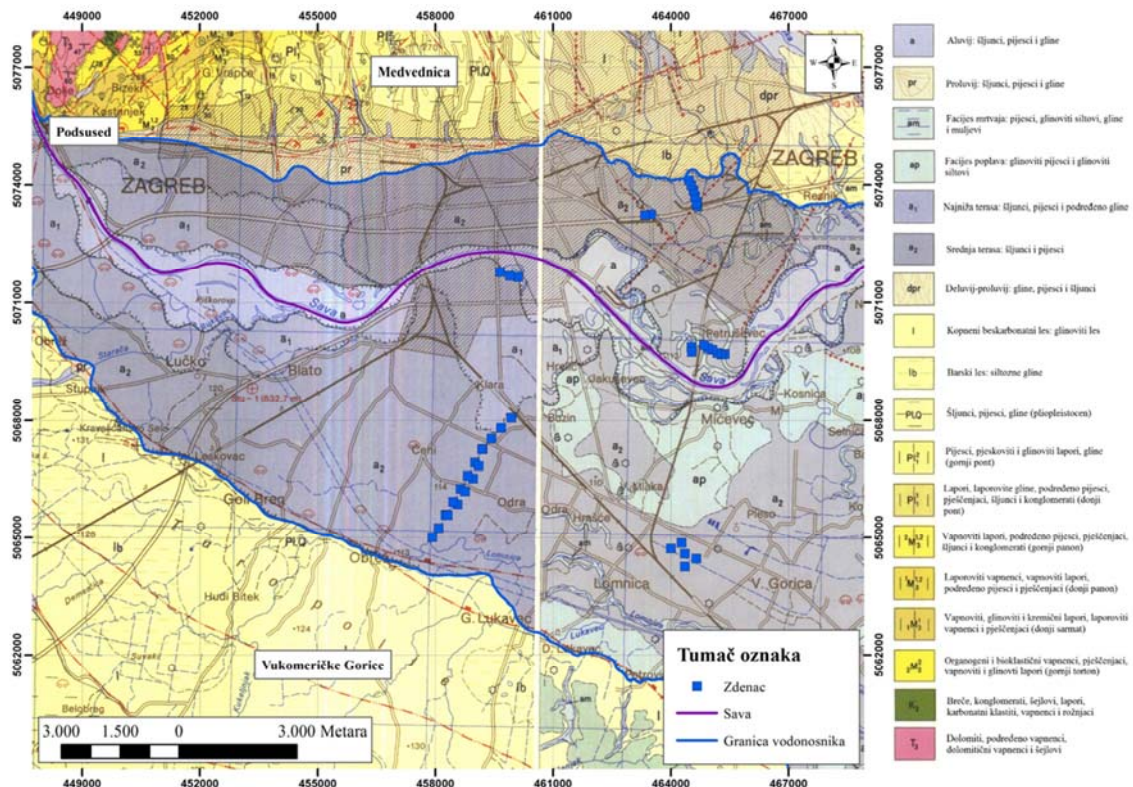


Slika 2.2. Lokacija meteorološke postaje „Zagreb-Pleso“

### 2.3. Geološke i hidrogeološke značajke promatranog područja

Na području zagrebačkog vodonosnika dominiraju tri tipa naslaga: pijesci, šljunci i prahovi/prahovite gline koji su se taložili za vrijeme srednjeg i gornjeg pleistocena te holocena (slika 2.3.). Najstarije kvartarne naslage donjeg pleistocena su predstavljene većinom prahovitim glinama i glinovitim prahovima uz pojavu sitnozrnastih pijesaka. Srednji pleistocen predstavljen je pijescima ponajviše u starijem i srednjem dijelu, dok se u mlađem srednjem pleistocenu pojavljuju prahovi i gline (Velić i Saftić, 1991; Velić i Durn, 1993). Mlađi pleistocen karakteriziran je lateralnim promjenama šljunka, pijeska, praha i

gline. Krajem pleistocena tektonska aktivnost uvjetovala je formiranje Savske potoline (Velić i Saftić, 1991). Plići vodonosni sloj taložen je tijekom holocena. Različiti tektonski i klimatski procesi početkom holocena omogućili su prodor i formiranje rijeke Save, te time započinje transport materijala s područja Alpa (Velić i Durn, 1993). Zbog čestih klimatskih promjena i tektonske aktivnosti količina transportiranog materijala bila je promjenjivog intenziteta, a posljedica toga su heterogenost i anizotropija kao bitne karakteristike zagrebačkog vodonosnika te neujednačena debljina naslaga.



Slika 2.3. Isječak osnovne geološke karte SFRJ 1:100.000, list Zagreb (Šikić, 1979) i list Ivanić Grad (Basch, 1981)

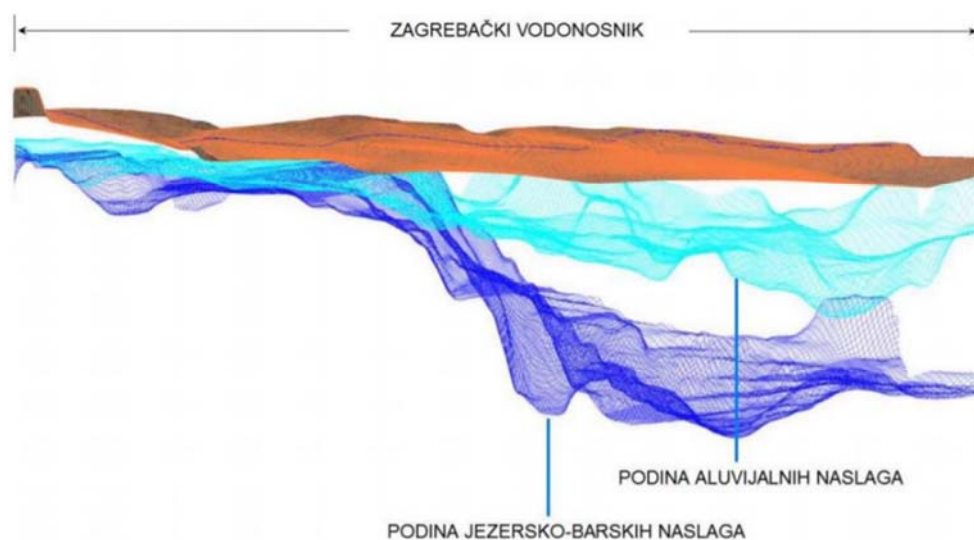
Na sjeveru se nalaze glinovite naslage koje prelaze u slabo propusne tercijarne naslage južnog dijela Medvednice. Na istočnom rubu sustava smanjena je propusnost pa su protoci ograničeni. Na zapadnom rubu sustav ima malu kontaktnu površinu sa samoborskim vodonosnikom. Na južnom dijelu zagrebački vodonosnik se naslanja na klastične stijene Stupničke terase.

Shematski profil vodonosnog sustava prikazuje troslojni sustav: krovinske naslage, plići sloj u kojem su zastupljene aluvijalne naslage rijeke Save i dublji vodonosni sloj u kojem dominantno prevladavaju jezersko-barske naslage kao što je prikazano na slici 2.4.



Slika 2.4. Shematski profil zagrebačkog vodonosnog sustava (Posavec, 2006)

Zagrebački vodonosnik je otvoreni aluvijalni vodonosnik koji je u stalnom kontaktu s rijekom Savom. Rubne granice, u hidrauličkom smislu, čine nepropusna granica na sjeveru, granica dotjecanja na jugozapadu te granica otjecanja na jugoistoku. U profilu vodonosnika razlikuju se dva dobro propusna vodonosna sloja povezana u jednu hidrauličku cjelinu: prvi vodonosni sloj s dominantno aluvijalnim naslagama rijeke Save i drugi vodonosni sloj s dominantno jezersko-barskim naslagama. Debljine ovih dvaju vodonosnih slojeva su raznolike, a kreću se od nekoliko metara pa sve do otprilike 100 m. Krovinu vodonosnika čine slabo propusne naslage koje su vrlo tanke, nekoliko metara ili su potpuno odsutne. Debljina slabo propusne krovine povećava se u rubnim područjima ili u jugoistočnom dijelu vodonosnika. Podinu vodonosnog sustava izgrađuju slabo propusne naslage (Posavec, 2006). Na slici 2.5. prikazan je 3D hidrogeološki model zagrebačkog vodonosnika.



Slika 2.5. 3D prikaz hidrogeološkog modela zagrebačkog vodonosnika (Bačani i Posavec, 2014)

Smjer toka podzemne vode kreće se od zapada prema istoku/jugoistoku tj. paralelno s rijekom Savom, a lokalni smjerovi toka podzemne vode ovise o vodostajima rijeke Save koja ima utjecaj na promjene razina podzemne vode. Za vrijeme visokih voda rijeka Sava napaja vodonosnik duž cijele duljine toka, dok za vrijeme niskih voda drenira vodonosnik. Dolazi do smanjenja razine podzemne vode i time se smanjuju količine raspoložive vode za vrijeme dužih sušnih razdoblja (Posavec, 2006). Napajanje vodonosnika ostvaruje se: (1) infiltracijom iz rijeke Save; (2) infiltracijom oborina; (3) infiltracijom iz propusne vodoopskrbe i kanalizacijske mreže; (4) utjecanjem iz susjednog samoborskog vodonosnika po zapadnoj granici; te (5) dotjecanjem po južnoj granici vodonosnika s područja Vukomeričkih Gorica (Posavec, 2006). Sava je koritom usječena u aluvijalne holocenske naslage šljunkovitog sastava visoke hidrauličke vodljivosti koje čine glavni vodonosni sloj te je zbog toga hidraulička veza između rijeke Save i vodonosnika vrlo jaka. Vrijednost hidrauličke vodljivosti na zapadnoj strani vodonosnika vrlo je visoka i prelazi 3000 m/dan, dok dalje prema istoku opada, gdje iznosi i manje od 1000 m/dan (Urumović i Mihelčić, 2000).

### 3. Metodologija

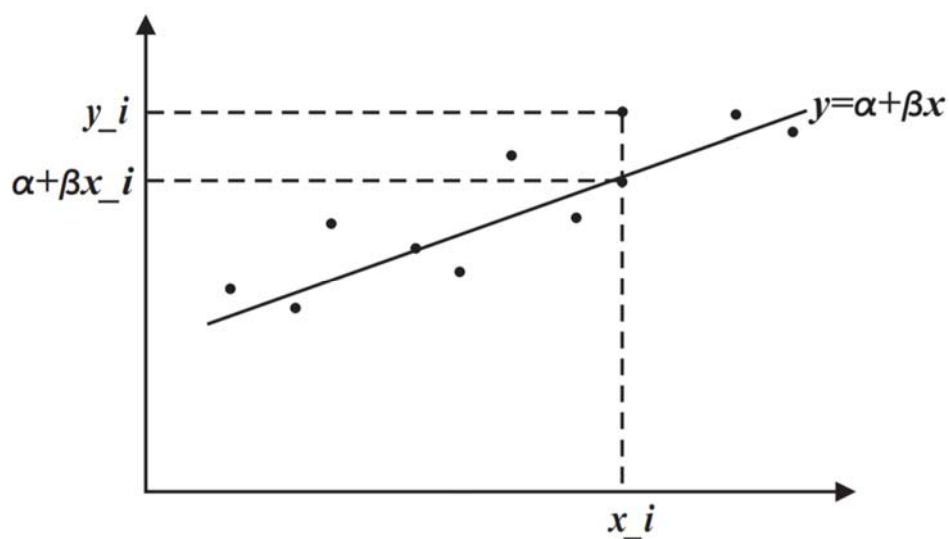
#### 3.1. Regresijska analiza

Regresijske tehnike omogućuju da se kvantitativno izrazi zavisnost dviju ili više varijabli koje su inherentno povezane, a dobiveni model koristi se za: (1) predviđanje nekih podataka za koja nema mjerenja; te (2) za dobivanje nekih konstanti koje opisuju tu zavisnost. Najjednostavniji primjer je linearna zavisnost varijable  $y$  o nezavisnoj varijabli  $x$  (linearna regresija). Moguća je i zavisnost jedne varijable ( $y$ ) o više nezavisnih varijabli, tada se radi od multivarijatnoj regresiji (nelinearna regresija).

Za postavljanje što realnije pretpostavke o regresijskoj funkciji, parovi podataka  $(x_1, y_1), \dots, (x_n, y_n)$  prikazuju se točkama u koordinatnom sustavu na dijagramu raspršenosti. Ako se pretpostavi da je graf funkcije  $f(x)$  pravac, odnosno da je zakonitost koja povezuje nezavisnu varijablu  $x$  i vrijednosti slučajnih varijabli  $Y_i$  linearnog tipa, regresijska funkcija algebarski se zapisuje (Mathos, 2018):

$$f(x) = \alpha + \beta x_i \quad (3.1.)$$

U tom slučaju parametar  $\beta$  (koeficijent smjera) naziva se koeficijent regresije, a pravac  $y = \alpha + \beta x$  regresijski pravac (slika 3.1.) (Mathos, 2018).



Slika 3.1. Dijagram raspršenosti (Mathos, 2018)

Na slici 3.1. vidljivo je da za vrijednost  $x_i$  nezavisne varijable  $x$ , zavisna varijabla  $Y_i$  poprima vrijednost  $\alpha + \beta x_i$ . Također, stvarna vrijednost  $Y_i$  jednaka je  $y_i$ . Razlika tih vrijednosti računa se formulom:

$$d_i = y_i - (\alpha + \beta x_i) \quad (3.2.)$$

### 3.2. Studentov test (t-test)

Hipoteza je pretpostavka o problemu koji se promatra i o kojem se želi nešto zaključiti. Cilj hipoteze je na temelju statističke analize prikupljenih podataka donijeti zaključak o obilježju u cjelini. Metode kojima ispitujemo istinitost hipoteza zovu se statistički testovi. Postoje dvije vrste hipoteza.

Znanstvena hipoteza predstavlja nagađanje i pretpostavke koje motiviraju istraživanje. Iz znanstvene hipoteze, odnosno hipoteze istraživanja, izvodi se statistička hipoteza.

Statistička hipoteza iskazuje se na način da može biti vrednovana statističko-analitičkim postupcima. Statistička hipoteza matematički je izraz koji predstavlja polaznu osnovu na kojoj se temelji kalkulacija statističkog testa. Testiranje hipoteze je statistički postupak kojim se određuje jesu li i koliko pouzdani raspoloživi podaci koji podupiru postavljenu pretpostavku. Testiranje hipoteze, odnosno testiranje značajnosti u osnovi je postupak kvantifikacije impresija o specifičnoj hipotezi. Slijed radnji u testiranju hipoteza: (1) postavljanje nul- i alternativne hipoteze; (2) izbor razine značajnosti ( $\alpha$ ); (3) prikupljanje primjerenih podataka na odgovarajućem uzorku; (4) računanje vrijednosti rezultata statističkog testa specifičnog za nul-hipotezu ( $H_0$ ); te (5) usporedba rezultata statističkog testa s vrijednostima iz poznate distribucije vjerojatnosti specifične za dati test.

Nul-hipoteza,  $H_0$  pretpostavka je o izostanku efekta, tj. da ne postoji razlika među uzorcima u populaciji od interesa. To je hipoteza koja se testira, hipoteza da nema razlike. Postavlja se u svrhu odbacivanja. Odbacuje se ili prihvaća.

Alternativna hipoteza,  $H_1$  vrijedi ako nul-hipoteza nije istinita. Najčešće se izravno odnosi na teorijsku pretpostavku koja se želi istražiti, tj. često je alternativna hipoteza upravo hipoteza istraživača.

Studentovim testom (t-test) provjerava se hipoteza o očekivanju slučajne varijable, ovisno o postavljenoj nultoj i alternativnoj hipotezi prikazanoj formulom.

$$t = \frac{\bar{x}_1 + \bar{x}_2}{\sqrt{\frac{s_1^2}{n_1} + \frac{s_2^2}{n_2}}} \quad (3.3.)$$

T-test je primjenjiv isključivo sa dva uzorka, iako često u istraživanjima ima više uzoraka (Ivanković i sur., 1989).

Korištena razina značajnosti u obradi podataka je  $\alpha=0,05$ . Statistička značajnost rezultata dobivena je provjerom u odnosu na razinu značajnosti. Ako je p-vrijednost manja od razine značajnosti  $\alpha=0,05$ , rezultati su statistički značajni, odnosno ako je veća od  $\alpha=0,05$ , rezultati nisu statistički značajni.

### 3.3. Izračun evapotranspiracije/korigirane evapotranspiracije i maksimalne dostupne vode za infiltraciju

Vrijednosti evapotranspiracije i korigirane evapotranspiracije računaju su prema formuli Turc-a (1953):

$$E_T = \frac{P}{\sqrt{0,9 + \frac{P^2}{L^2}}} \quad (3.4.)$$

gdje je:  $P$  – visina godišnjih oborina (mm);

$$L = 300 + 25T + 0,05T^3;$$

$T$  – srednja godišnja temperatura zraka ( $^{\circ}\text{C}$ ).

Obzirom da postoje podaci o srednjim mjesečnim temperaturama zraka i oborinama, za izračun korigirane evapotranspiracije temperatura zraka se korigira i izračunava prema jednadžbi:

$$T_p = \frac{\sum(P_i T_i)}{\sum P_i} \quad (3.5.)$$

gdje su:  $P_i$  – mjesečne oborine (mm);

$T_i$  – srednje mjesečne temperature zraka ( $^{\circ}\text{C}$ );

pa je u tom slučaju:  $L = 300 + 25T_p + 0,05T_p^3$ .

Oduzimanjem rezultata evapotranspiracije/korigirane evapotranspiracije od oborina na godišnjoj razini računa se količina maksimalne raspoložive vode za infiltraciju na godišnjoj razini.



## 4. Podaci

Podatke je ustupio DHMZ te se oni odnose na postaju „Zagreb-Pleso“. Za razdoblje od rujna do prosinca 1991. godine podaci nisu bili dostupni. U ovom poglavlju prikazane su mjesečne i godišnje vrijednosti oborina i srednjih temperatura zraka u razdoblju od 1981. godine do 2019. godine. Upravo ti podaci poslužili su za prikaz promjena oborina, temperatura zraka, evapotranspiracije i maksimalne dostupne vode za infiltraciju kroz vrijeme i određivanje trendova istih. U tablici 4.1. nalaze se ukupne oborine na godišnjoj i mjesečnoj razini.

Tablica 4.1. Mjesečne i godišnje količine oborina

Oborina (mm)													
Godina	Siječanj	Veljača	Ožujak	Travanj	Svibanj	Lipanj	Srpanj	Kolovoz	Rujan	Listopad	Studen	Prosinac	Ukupno
1981	37,9	72	85,7	17,6	135,5	144	39,1	67,7	105,4	60,1	66,7	166,5	998,2
1982	20,5	6,6	75,4	62,9	43,9	93,2	72,7	104,1	61,4	124,8	48,9	163,4	877,8
1983	39,2	111,5	98,7	14,7	53,3	89,3	39,3	70,7	66,2	94,1	23,8	36,7	737,5
1984	179	53,9	50,4	67,9	120,2	63,8	102,7	21,1	149	73,5	72,4	27,4	981,3
1985	48,6	41,7	104,9	81,8	86,2	177,9	38,1	68,6	35	4,6	143,4	63,9	894,7
1986	78,4	99,7	75,7	72,1	72,3	162	111,2	75,7	33,3	119,1	13,6	42,3	955,4
1987	88,7	82	41	56	97,4	81,7	53,2	69,7	86,1	67,4	153,5	41	917,7
1988	54,4	99,2	102,6	43,5	56,4	75,1	42	95,4	113,3	94,3	32,5	38,8	847,5
1989	4,7	35,7	52,1	61,1	156,8	126,5	122,9	252	76,9	23,2	35,1	42,1	989,1
1990	24,6	40,1	49,8	61,8	10,4	75,8	52,1	26,3	110,6	92,5	132,4	68,8	745,2
1991	55,9	44,5	30,9	40,4	118,3	45,1	86	118,9	-	-	-	-	540
1992	17,3	48,7	110,8	22	15,9	74,9	66,6	2,9	51,2	221,8	120,3	82,3	834,7
1993	12,6	5,9	38,5	74,7	48,6	97,8	44,8	103,3	142,6	158,9	188,3	123,3	1039,3
1994	36,4	34,7	44,8	108	49,7	155,6	55,9	151,9	53,8	114,2	30,9	102,1	938
1995	77	87,1	78,6	38,1	101,8	107,2	93,1	163,1	138,4	9	70,6	108	1072
1996	91,7	42,4	14,3	86,5	110,1	80,4	67,7	98	166,6	60,6	159,1	85,1	1062,5
1997	58,2	38,5	35,5	64,7	63,5	103,3	94,9	105,7	24,8	64,7	117,3	106,8	877,9
1998	29,4	1,8	61,5	60,8	86,5	95,3	123,8	101,1	142,3	131,9	80,2	62,2	976,8
1999	52,6	107,9	44,6	59,2	154,5	64,1	126,9	108,9	60,7	71,5	99,1	133,7	1083,7
2000	20,5	30,3	46,6	55,4	42,9	67,7	95,4	18,1	81	96,7	91,4	139	785
2001	91,4	18,2	127,4	88,3	94,3	113,2	82,8	35,4	211,6	7,2	114,7	36,7	1021,2
2002	19,7	53,7	36,5	175,3	97,5	94,5	105,8	105,9	98,6	99,1	83	79,7	1049,3
2003	76,2	37,5	8,1	24,8	67,7	54,1	59,6	32,1	114,9	118,1	57,8	30,7	681,6
2004	68,6	69	73,6	156,2	36,3	99,2	83,5	67,5	79,1	138,6	46	54,2	971,8
2005	27,7	73,9	56,2	70,8	82,9	85,8	201,9	176,1	87,3	30,7	73,5	135,2	1102
2006	53,8	41,2	72,1	130,5	94,5	29,9	88,4	195,2	64,9	4,8	60,2	35,9	871,4
2007	71,7	49,5	90	4	67,1	119,7	75,9	103,4	143,2	125,2	75,2	67,4	992,3
2008	10,4	8,2	101	35,9	43,7	180,1	54,9	72,8	54,7	73,3	70,3	99,8	805,1
2009	101,2	46,9	44,7	45,9	68,1	85,7	97,8	65,9	29,2	89,6	103	94	872
2010	94,3	88,6	91,8	60,5	110,5	137,4	47,6	103,4	180,3	45	116	72,1	1147,5
2011	10,9	12,4	32,9	43,2	44,4	113	55,4	20,4	58,7	79,8	1	88,2	560,3
2012	20,4	56,4	8,2	57,9	85,1	155,3	39	8,7	117,1	82,9	111,3	110,8	853,1
2013	170,3	122,7	151,4	58	64,3	46,8	54,1	98,4	136,3	37,9	192,5	17,2	1149,9
2014	74,5	190,6	14,7	103,5	88,2	170,7	180,4	100,1	214,8	160,8	69,7	91,5	1459,5
2015	73,3	95,4	30,5	30,7	151,1	59,7	91,5	61,2	95,7	195,3	47,6	3,1	935,1
2016	73,7	157,4	51,7	53,9	100,8	132,5	57,6	74	56,6	112,7	100,9	2,1	973,9
2017	36,6	53,6	23,8	49,5	39,6	100,4	49,1	45,8	227,1	78,6	116,3	101,6	922
2018	80,9	133,3	89,1	64,6	79,9	135,4	110,9	39,2	55,7	71,6	80,9	26,8	968,3
2019	43,8	34,4	36,1	80,9	187,2	45,8	85	47,6	171,2	41,4	179,9	101	1054,3

U tablici 4.2. nalaze se podaci za srednje mjesečne i srednje godišnje temperature zraka u razdoblju od 1981. godine do 2019. godine.

Tablica 4.2. Srednje mjesečne i godišnje temperature zraka

Temperatura zraka (°C)													
Godina	Siječanj	Veljača	Ožujak	Travanj	Svibanj	Lipanj	Srpanj	Kolovoz	Rujan	Listopad	Studenj	Prosinac	Srednje
1981	-2,9	-0,3	8,5	10,7	15,2	19,0	20,2	19,6	16,4	12,3	4,3	0,4	10,3
1982	-2,1	-0,9	5,2	8,2	15,9	20,1	21,3	19,6	18,3	11,4	5,5	4,2	10,6
1983	2,2	-1,4	6,7	13,0	17,0	18,8	22,7	20,4	15,9	10,3	2,4	0,3	10,8
1984	-0,7	-0,2	5,1	10,0	13,9	17,6	18,8	18,7	15,9	11,8	5,5	1,0	9,8
1985	-6,0	-4,4	4,9	10,6	16,6	17,0	21,0	20,3	16,1	9,7	3,2	4,4	9,5
1986	0,5	-3,5	2,9	11,4	18,2	17,8	19,7	20,8	15,2	9,6	5,3	-0,5	9,9
1987	-3,6	1,0	1,6	11,3	14,1	18,9	22,1	18,9	18,9	11,7	4,8	1,1	10,1
1988	3,7	3,8	5,7	10,2	15,9	18,3	22,4	20,6	16,0	10,1	0,7	0,5	10,7
1989	-1,1	3,9	9,3	11,9	14,8	17,2	21,2	20,2	15,7	10,1	3,8	2,7	10,8
1990	-0,2	6,2	9,2	10,3	16,9	18,8	20,6	20,5	14,7	11,0	5,5	1,1	11,2
1991	1,2	-2,9	8,4	9,1	12,4	18,9	22,2	20,2	-	-	-	-	11,3
1992	1,1	3,6	6,3	11,6	16,2	19,3	21,5	24,0	16,9	10,2	6,7	1,3	11,6
1993	0,5	0,1	5,5	11,5	17,9	19,7	20,8	21,1	15,7	11,9	2,1	1,1	10,7
1994	3,3	2,5	10,3	11,2	16,0	19,7	22,9	22,4	18,4	8,9	7,7	1,9	12,1
1995	0,8	5,4	5,5	11,9	15,6	18,2	23,0	19,6	15,0	11,8	4,8	1,3	11,1
1996	-1,2	-1,0	3,3	10,9	17,0	20,5	19,7	20,2	13,4	11,4	7,6	-1,9	10,0
1997	-1,1	4,0	6,7	8,1	17,2	20,2	20,5	20,4	16,1	9,1	5,5	2,7	10,8
1998	3,1	4,7	5,2	12,4	15,9	20,6	21,6	21,1	15,7	11,4	3,4	-3,8	11,0
1999	0,3	0,7	8,3	12,2	16,8	19,9	21,4	20,8	18,3	11,6	3,2	0,9	11,3
2000	-2,5	4,3	7,5	14,2	17,3	21,6	20,5	22,8	16,5	12,9	9,2	4,3	12,4
2001	3,7	4,4	9,9	10,7	17,8	18,4	22,0	22,3	14,4	14,0	3,1	-2,4	11,6
2002	-0,1	5,9	8,6	10,6	18,1	21,1	21,5	20,9	15,2	11,2	9,7	1,9	12,1
2003	-1,8	-2,7	7,1	10,7	19,4	24,0	23,1	24,5	15,5	9,3	7,8	1,4	11,6
2004	-0,6	2,5	5,3	11,5	14,7	19,2	21,1	21,0	16,0	13,0	6,5	1,6	11,0
2005	-0,7	-2,2	5,0	11,4	16,7	19,9	21,4	18,8	16,7	11,6	4,9	1,0	10,4
2006	-1,7	1,2	5,0	12,3	15,8	20,5	23,4	18,9	17,5	12,9	8,4	3,6	11,5
2007	5,6	6,6	8,7	14,0	17,9	21,7	22,6	21,2	14,5	10,0	4,5	0,2	12,3
2008	1,8	4,4	7,1	11,9	17,1	21,1	22,0	21,5	15,3	12,3	7,2	2,8	12,1
2009	-1,6	2,7	7,1	14,4	18,2	19,5	22,3	22,6	18,3	11,2	7,4	2,2	12,1
2010	-0,9	1,5	6,4	11,9	16,0	20,3	23,3	21,0	14,9	8,9	8,2	-1,0	10,9
2011	1,6	0,9	6,9	13,2	16,8	20,6	21,9	22,9	19,7	10,0	2,6	3,2	11,7
2012	1,8	-2,5	9,2	12,2	16,4	22,0	23,7	23,8	17,6	11,7	8,7	0,8	12,2
2013	0,9	1,2	4,5	12,8	16,1	20,1	23,3	22,6	15,7	13,0	7,0	2,7	11,7
2014	4,7	4,9	10,2	13,1	15,6	20,1	21,4	20,1	16,1	13,3	8,9	3,8	12,7
2015	3,0	2,2	7,6	11,9	17,5	20,9	24,6	23,2	17,4	11,0	7,1	2,6	12,5
2016	0,8	6,5	7,7	12,6	15,9	21,0	23,6	20,7	18,2	10,0	6,7	-0,6	11,9
2017	-3,9	4,8	9,9	12,2	17,5	22,5	23,9	23,5	15,1	11,4	6,7	3,5	12,3
2018	4,9	-0,1	4,8	15,5	19,1	21,1	22,4	23,3	17,4	13,0	7,6	1,9	12,6
2019	0,8	4,4	9,1	11,9	13,5	23,5	22,8	23,3	17,0	12,9	9,0	4,1	12,7

## 5. Rezultati

### 5.1. Prikaz godišnjih vrijednosti oborina, srednjih temperatura zraka, evapotranspiracije i maksimalne dostupne vode za infiltraciju

U tablici 5.1. nalaze se godišnje vrijednosti evapotranspiracije i korigirane evapotranspiracije izračunate prema formulama (3.4.) i (3.5.). Prikazana je i razlika korigirane evapotranspiracije i evapotranspiracije izražena u postocima. Za većinu godina razlika je vrlo mala. Obzirom na postavljeni odnos korigirane evapotranspiracije i evapotranspiracije u formuli, kod nekih godina pojavljuje se negativni postotak zbog manjeg iznosa korigirane evapotranspiracije u odnosu na evapotranspiraciju za tu godinu.

Tablica 5.1. Godišnje vrijednosti evapotranspiracije i korigirane evapotranspiracije

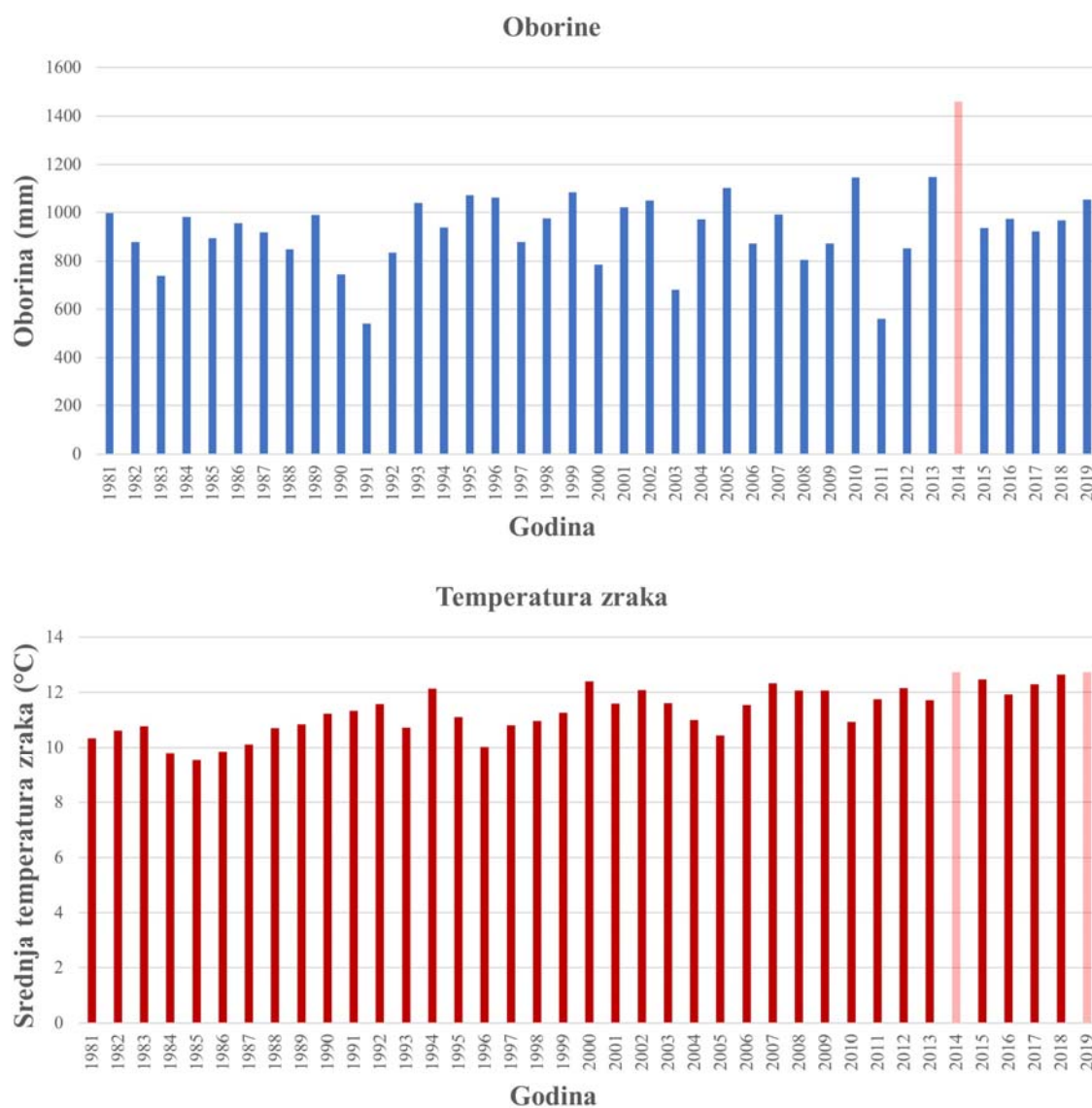
Evapotranspiracija i korigirana evapotranspiracija (mm)			
Godina	Evapotranspiracija	Korigirana evapotranspiracija	Razlika korigirane evapotranspiracije i evapotranspiracije izražena postotkom
1981	530,0	535,1	1,0%
1982	518,2	550,8	6,3%
1983	490,2	486,2	-0,8%
1984	514,0	512,9	-0,2%
1985	495,1	504,9	2,0%
1986	511,8	537,7	5,1%
1987	512,5	507,0	-1,1%
1988	514,3	528,9	2,8%
1989	542,3	666,6	22,9%
1990	501,4	491,3	-2,0%
1991	430,0	453,8	5,5%
1992	531,6	497,1	-6,5%
1993	546,0	559,3	2,4%
1994	567,6	607,8	7,1%
1995	560,9	589,2	5,0%
1996	529,7	555,9	4,9%
1997	522,9	538,0	2,9%
1998	543,5	609,0	12,0%
1999	566,8	572,2	1,0%
2000	536,7	539,0	0,4%
2001	567,4	583,2	2,8%
2002	585,6	630,4	7,7%
2003	489,6	497,8	1,7%
2004	543,8	562,6	3,5%
2005	545,7	610,4	11,9%
2006	538,7	581,9	8,0%
2007	582,8	602,8	3,4%
2008	535,0	570,9	6,7%
2009	551,6	538,0	-2,5%
2010	564,7	581,1	2,9%
2011	444,4	471,9	6,2%
2012	549,2	558,3	1,6%
2013	588,7	530,6	-9,9%
2014	653,1	690,5	5,7%
2015	575,4	605,2	5,2%
2016	568,6	586,5	3,1%
2017	568,1	575,8	1,4%
2018	587,0	584,5	-0,4%
2019	605,2	610,0	0,8%

U tablici 5.2. nalaze se godišnje vrijednosti maksimalne raspoložive vode za infiltraciju izračunate na temelju godišnjih oborina i evapotranspiracije.

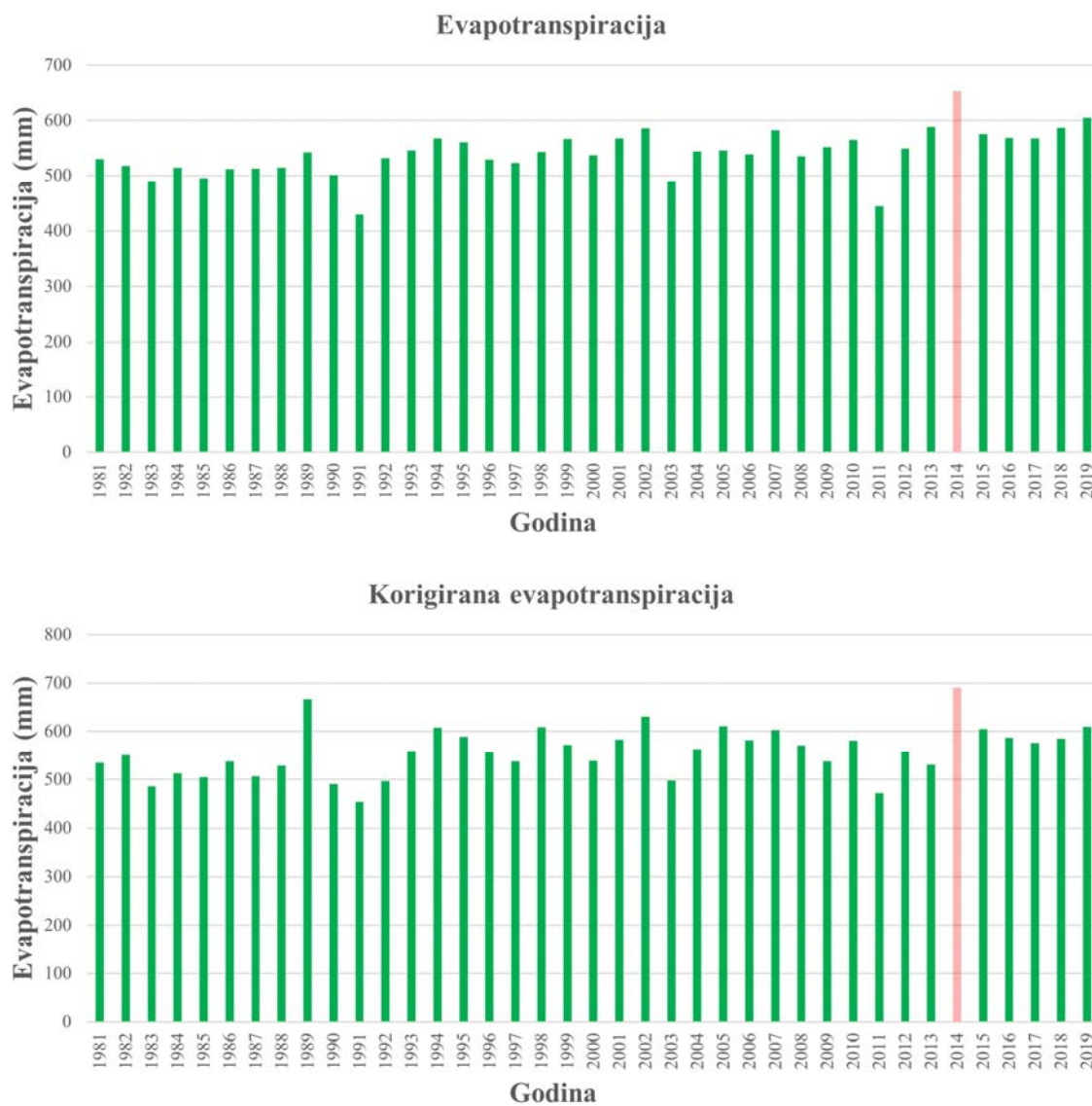
Tablica 5.2. Godišnje vrijednosti maksimalne raspoložive vode za infiltraciju

Godina	Oborina (mm)	Evapotranspiracija (mm)	Korigirana evapotranspiracija (mm)	Maksimalna dostupna voda za infiltraciju (mm)	Maksimalna dostupna voda za infiltraciju (korigirana evapotranspiracija) (mm)
1981	998,2	530,0	535,1	468,2	463,1
1982	877,8	518,2	550,8	359,6	327,0
1983	737,5	490,2	486,2	247,3	251,3
1984	981,3	514,0	512,9	467,3	468,4
1985	894,7	495,1	504,9	399,6	389,8
1986	955,4	511,8	537,7	443,6	417,7
1987	917,7	512,5	507,0	405,2	410,7
1988	847,5	514,3	528,9	333,2	318,6
1989	989,1	542,3	666,6	446,8	322,5
1990	745,2	501,4	491,3	243,8	253,9
1991	540	430,0	453,8	110,0	86,2
1992	834,7	531,6	497,1	303,1	337,6
1993	1039,3	546,0	559,3	493,3	480,0
1994	938	567,6	607,8	370,4	330,2
1995	1072	560,9	589,2	511,1	482,8
1996	1062,5	529,7	555,9	532,8	506,6
1997	877,9	522,9	538,0	355,0	339,9
1998	976,8	543,5	609,0	433,3	367,8
1999	1083,7	566,8	572,2	516,9	511,5
2000	785	536,7	539,0	248,3	246,0
2001	1021,2	567,4	583,2	453,8	438,0
2002	1049,3	585,6	630,4	463,7	418,9
2003	681,6	489,6	497,8	192,0	183,8
2004	971,8	543,8	562,6	428,0	409,2
2005	1102	545,7	610,4	556,3	491,6
2006	871,4	538,7	581,9	332,7	289,5
2007	992,3	582,8	602,8	409,5	389,5
2008	805,1	535,0	570,9	270,1	234,2
2009	872	551,6	538,0	320,4	334,0
2010	1147,5	564,7	581,1	582,8	566,4
2011	560,3	444,4	471,9	115,9	88,4
2012	853,1	549,2	558,3	303,9	294,8
2013	1149,9	588,7	530,6	561,2	619,3
2014	1459,5	653,1	690,5	806,4	769,0
2015	935,1	575,4	605,2	359,7	329,9
2016	973,9	568,6	586,5	405,3	387,4
2017	922	568,1	575,8	353,9	346,2
2018	968,3	587,0	584,5	381,3	383,8
2019	1054,3	605,2	610,0	449,1	444,3

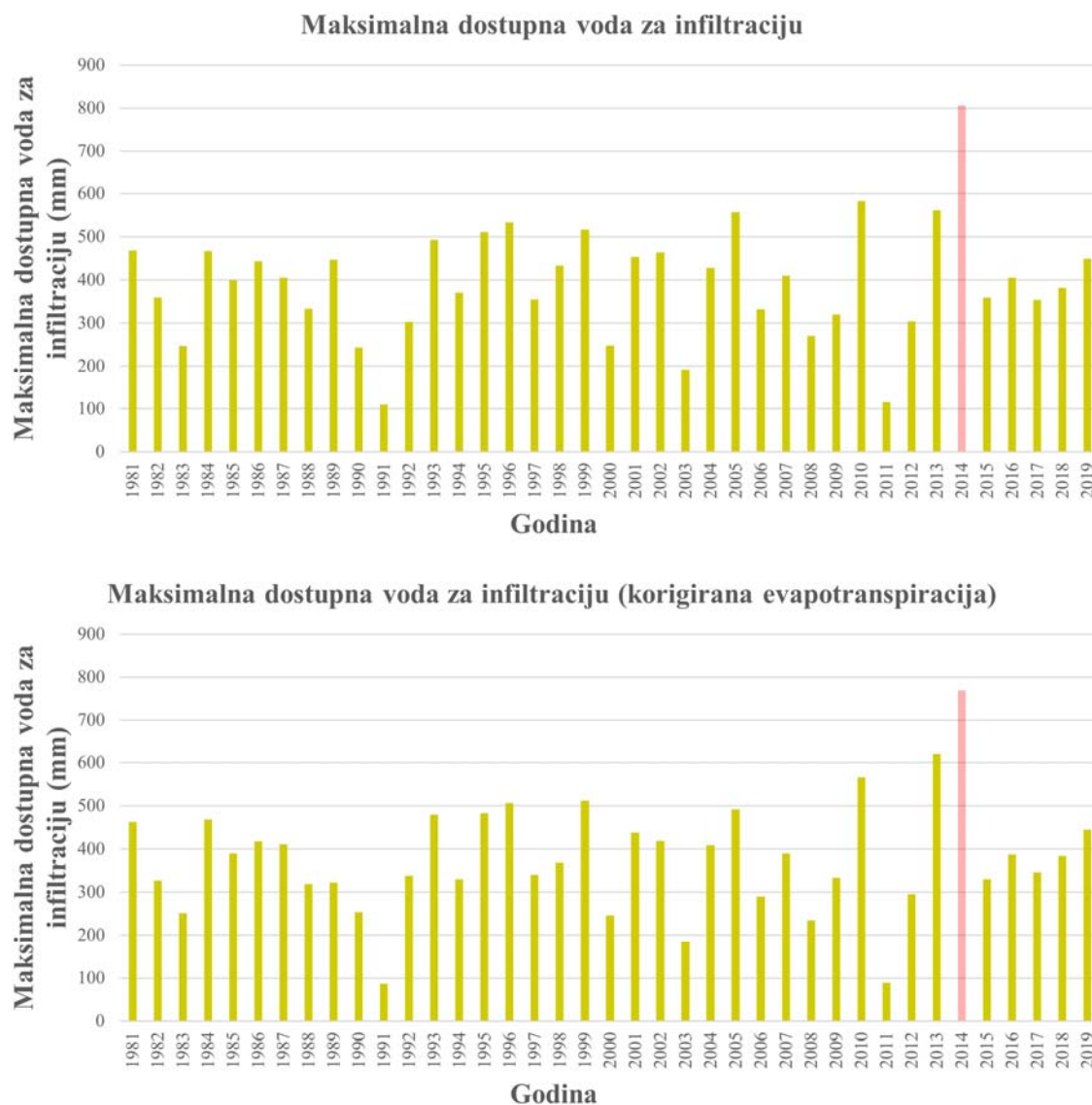
Na slikama 5.1. do 5.3. prikazani su usporedni grafički prikazi godišnjih oborina, temperatura zraka, evapotranspiracije/korigirane evapotranspiracije i maksimalne dostupne vode za infiltraciju. Na slikama je naglašena 2014. godina (uz 2019. godinu na usporednom grafičkom prikazu temperatura) kao najobilnija, najtoplija te godina s najvišim izračunatim iznosom evapotranspiracije/korigirane evapotranspiracije i maksimalne dostupne vode za infiltraciju.



Slika 5.1. Usporedni prikaz oborina i temperatura zraka na godišnjoj razini



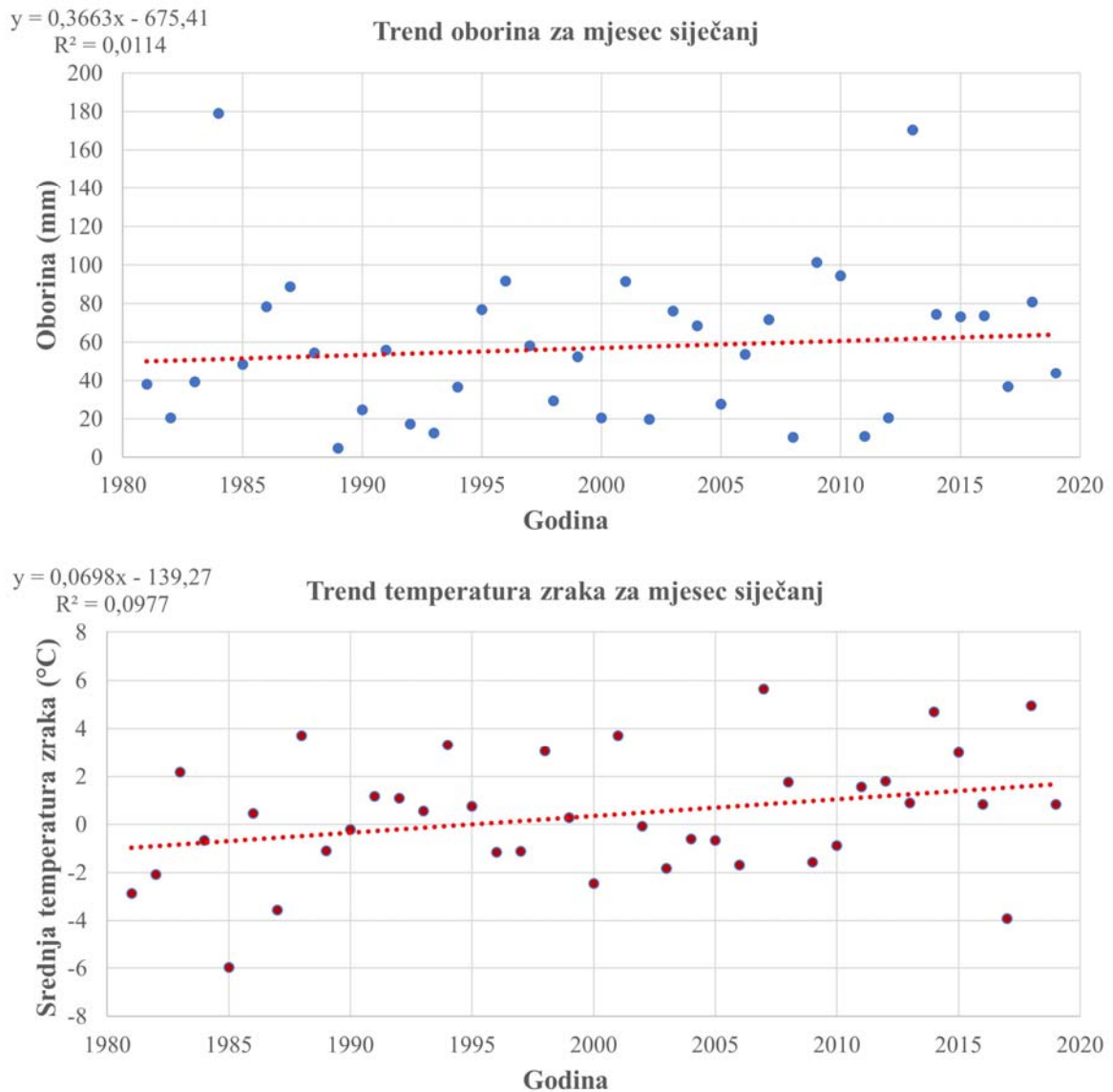
Slika 5.2. Usporedni prikaz evapotranspiracije i korigirane evapotranspiracije na godišnjoj razini



Slika 5.3. Usporedni prikaz maksimalne raspoložive vode za infiltraciju na godišnjoj razini

## 5.2. Mjesečni trendovi oborina i temperatura zraka

Na slikama 5.4. do 5.15. prikazane su količine oborina, temperatura zraka te trendovi oborina i temperatura zraka po mjesecima u razdoblju od 1981. godine do 2019. godine za postaju „Zagreb-Pleso“. Radi bolje vizualne preglednosti ispuna točaka na grafovima trenda oborina je plave boje, a trenda temperatura zraka je crvene boje.

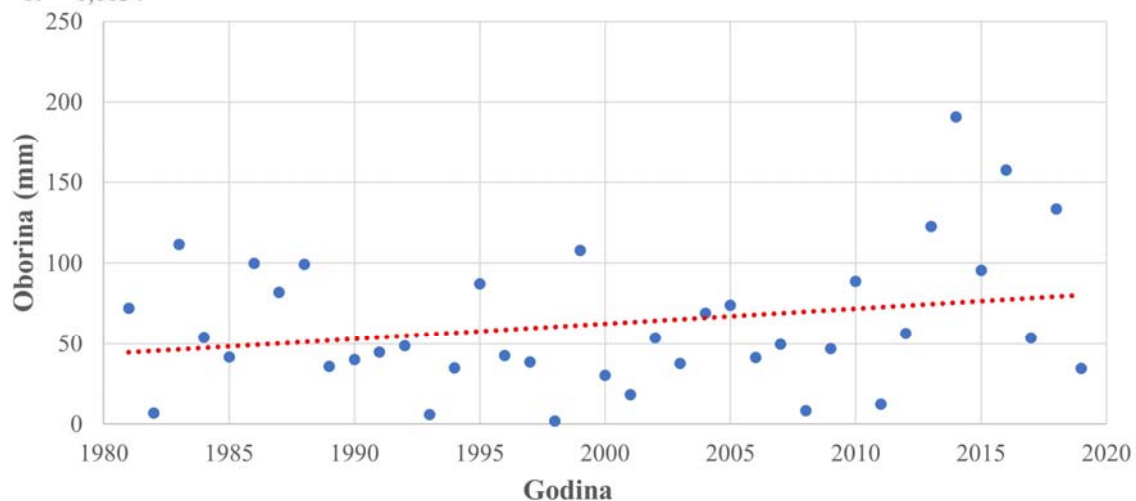


Slika 5.4. Trend oborina i temperatura zraka za mjesec siječanj



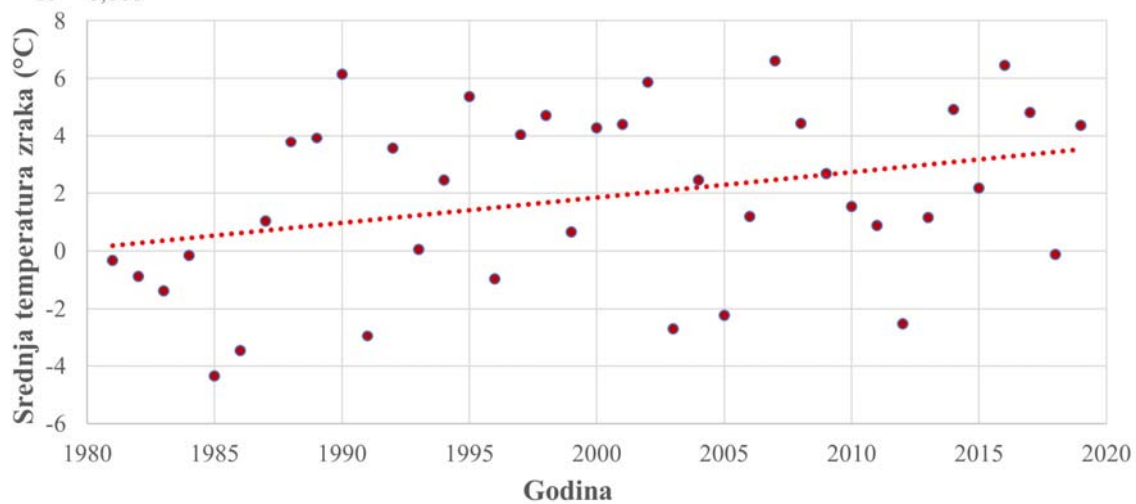
$$y = 0,942x - 1821,8$$
$$R^2 = 0,0634$$

Trend oborina za mjesec veljaču

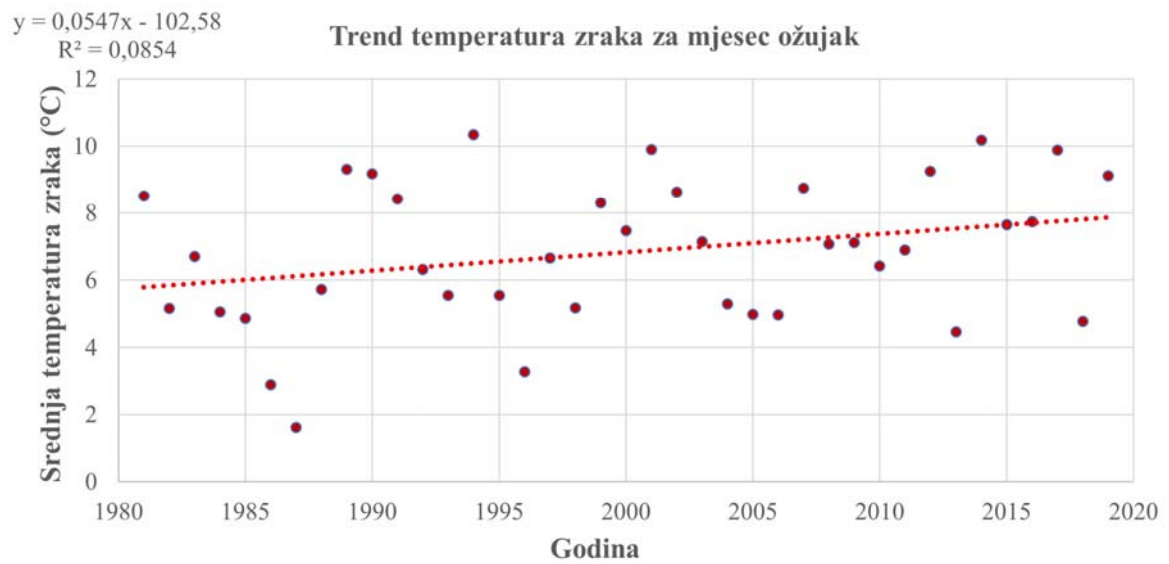
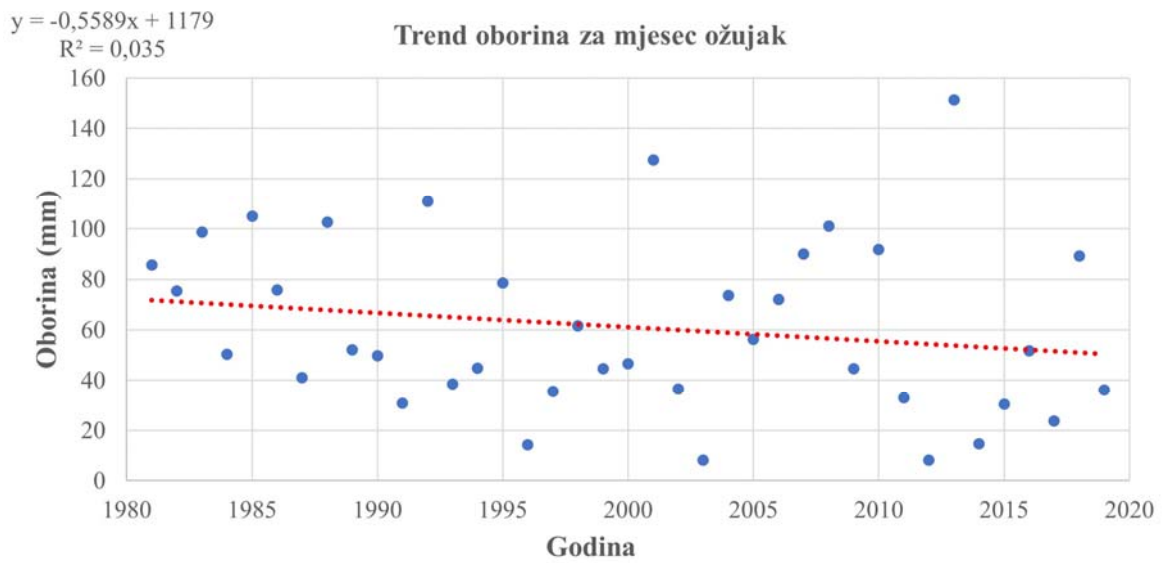


$$y = 0,0877x - 173,55$$
$$R^2 = 0,108$$

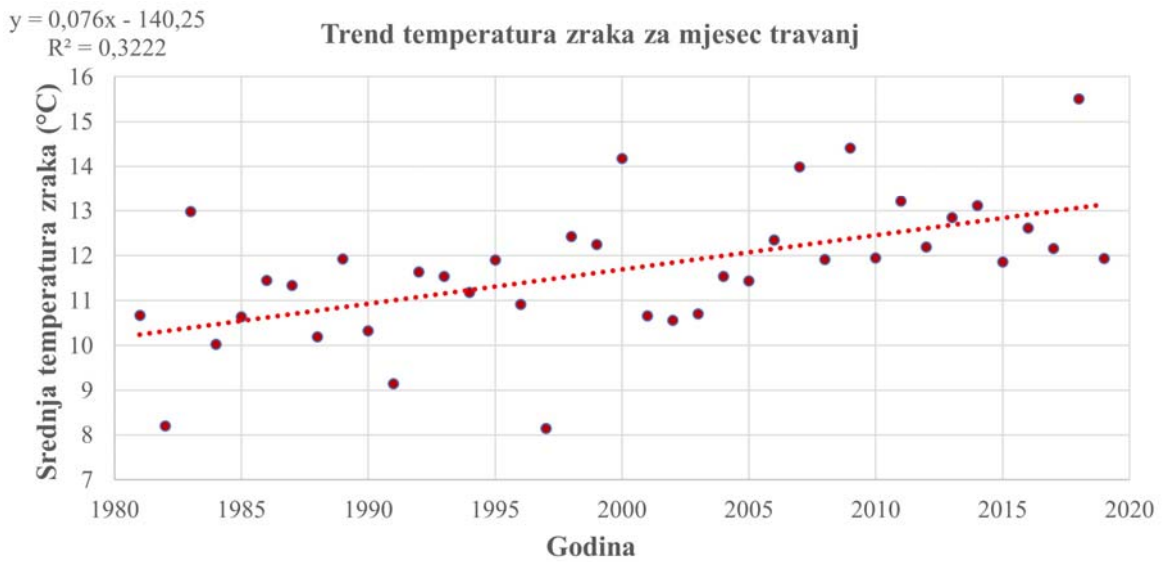
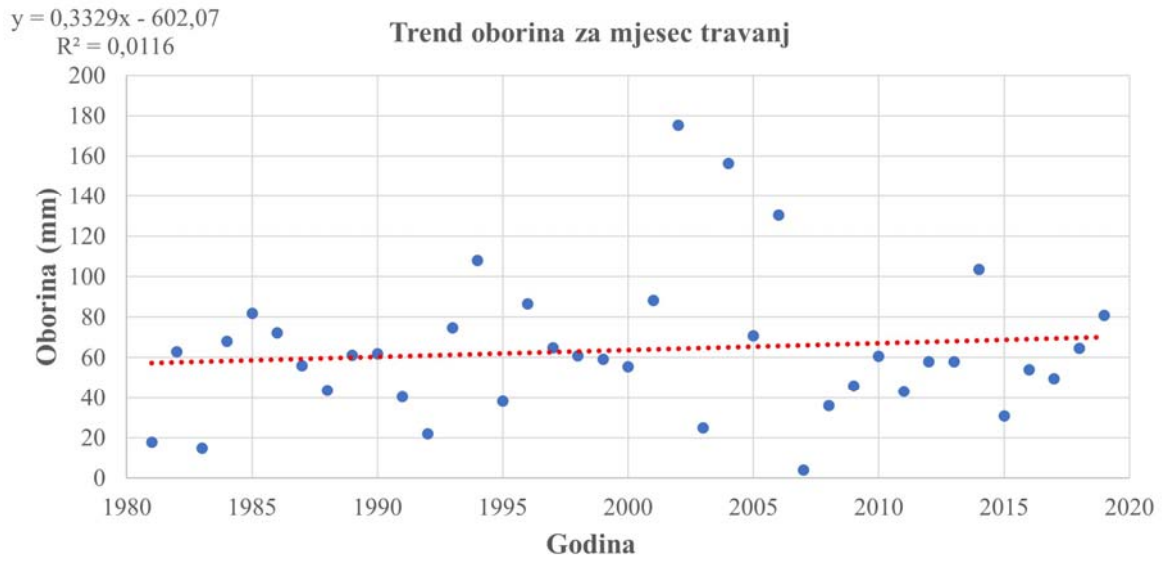
Trend temperatura zraka za mjesec veljaču



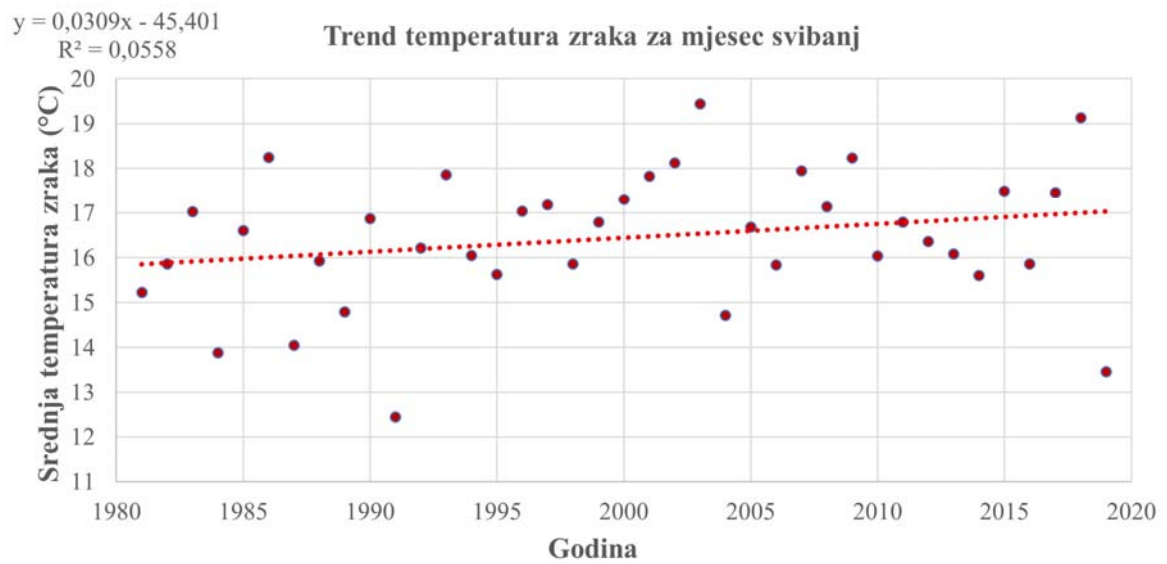
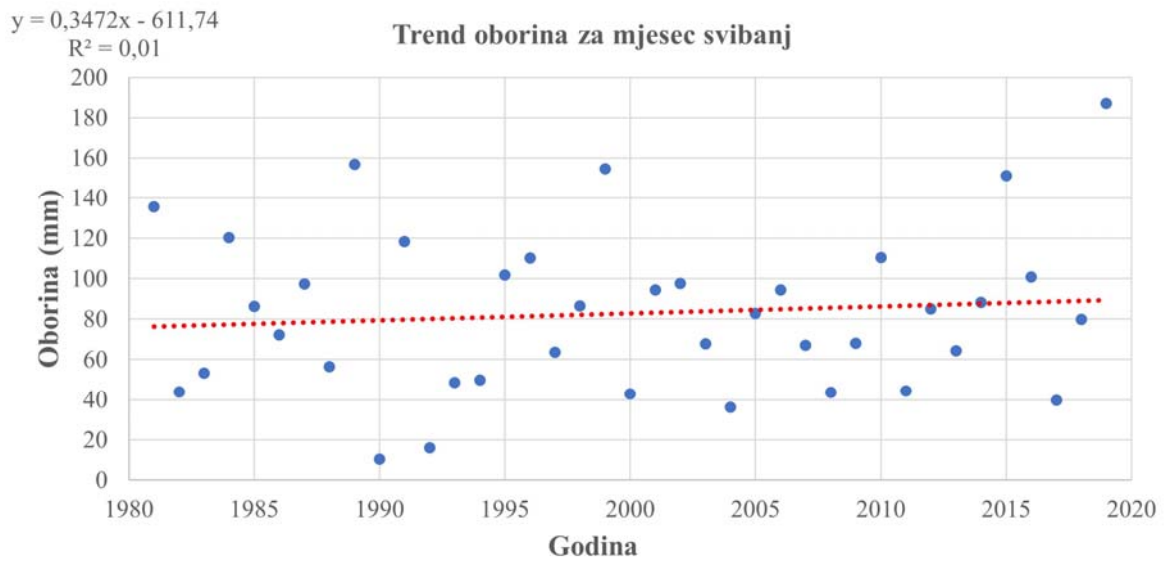
Slika 5.5. Trend oborina i temperatura zraka za mjesec veljaču



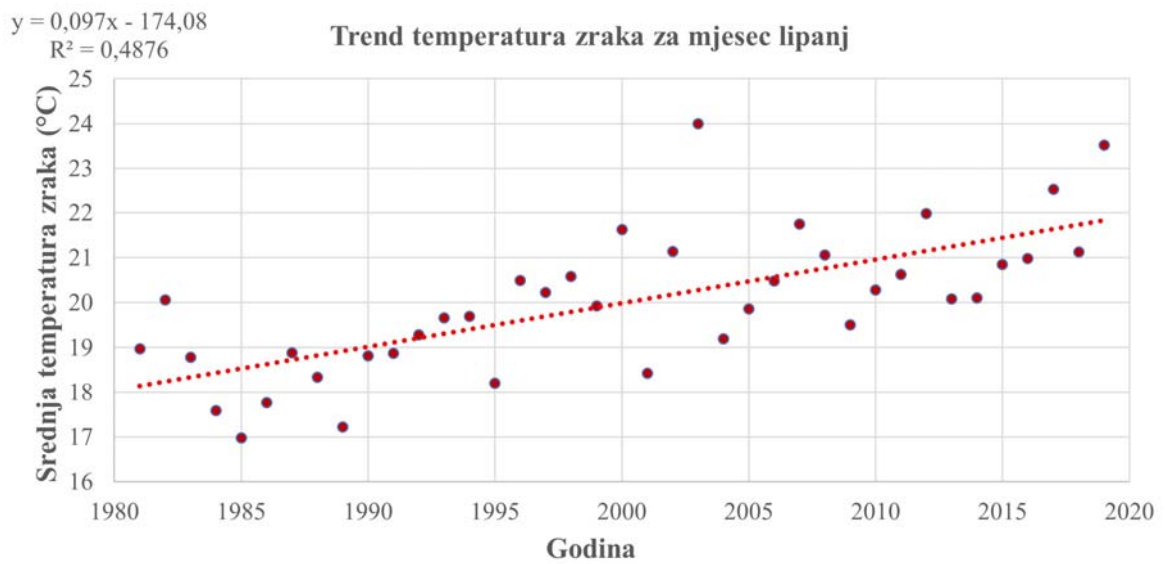
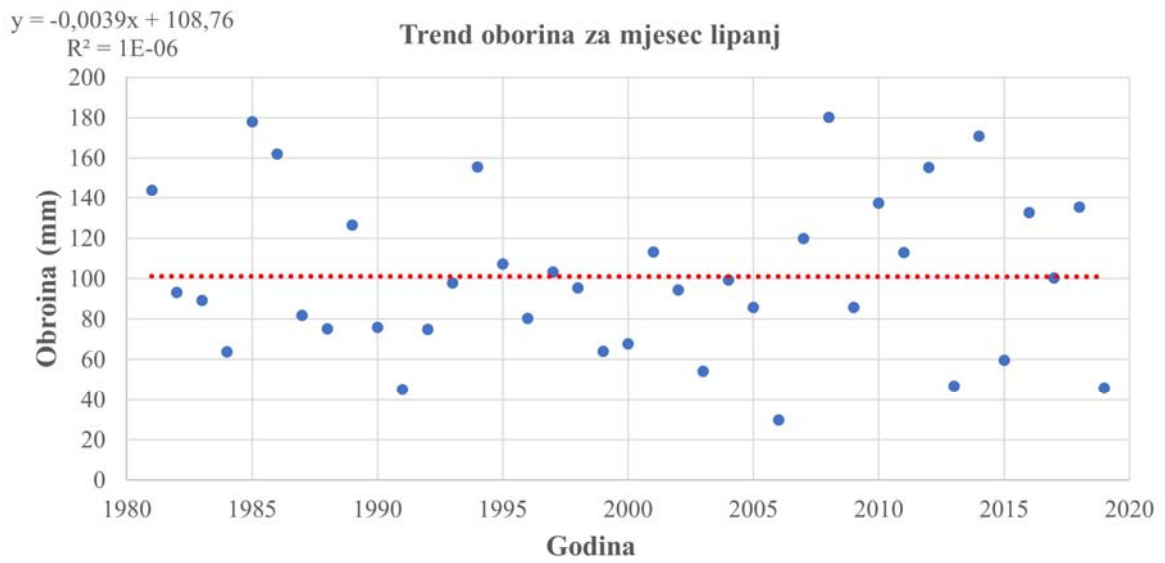
Slika 5.6. Trend oborina i temperatura zraka za mjesec ožujak



Slika 5.7. Trend oborina i temperatura zraka za mjesec travanj



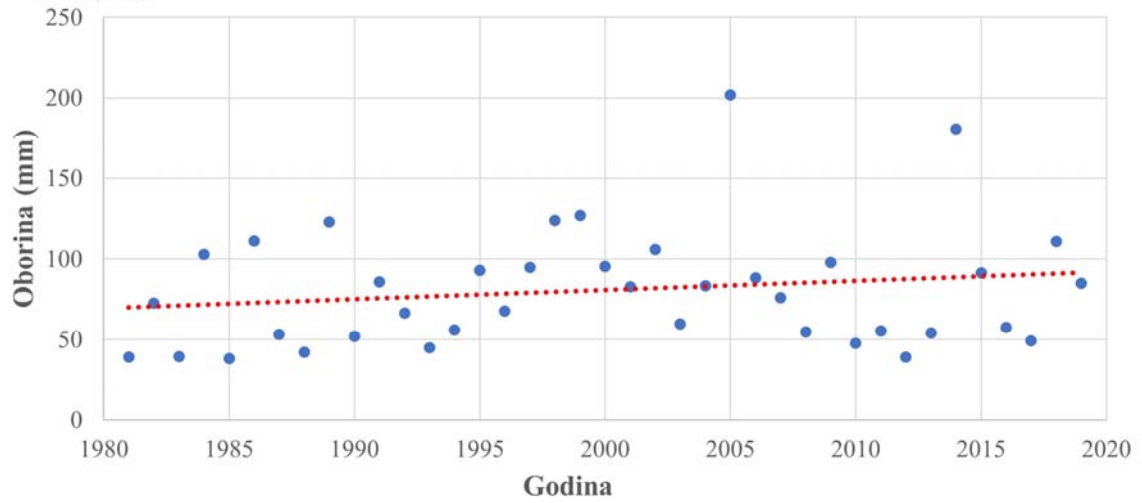
Slika 5.8. Trend oborina i temperatura zraka za mjesec svibanj



Slika 5.9. Trend oborina i temperatura zraka za mjesec lipanj

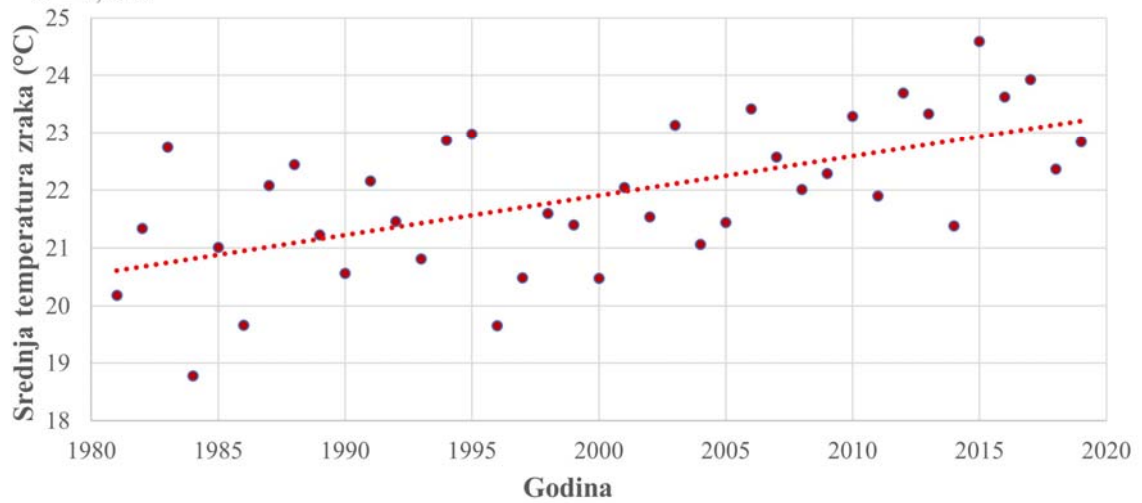
$$y = 0,5687x - 1056,6$$
$$R^2 = 0,0307$$

Trend oborina za mjesec srpanj



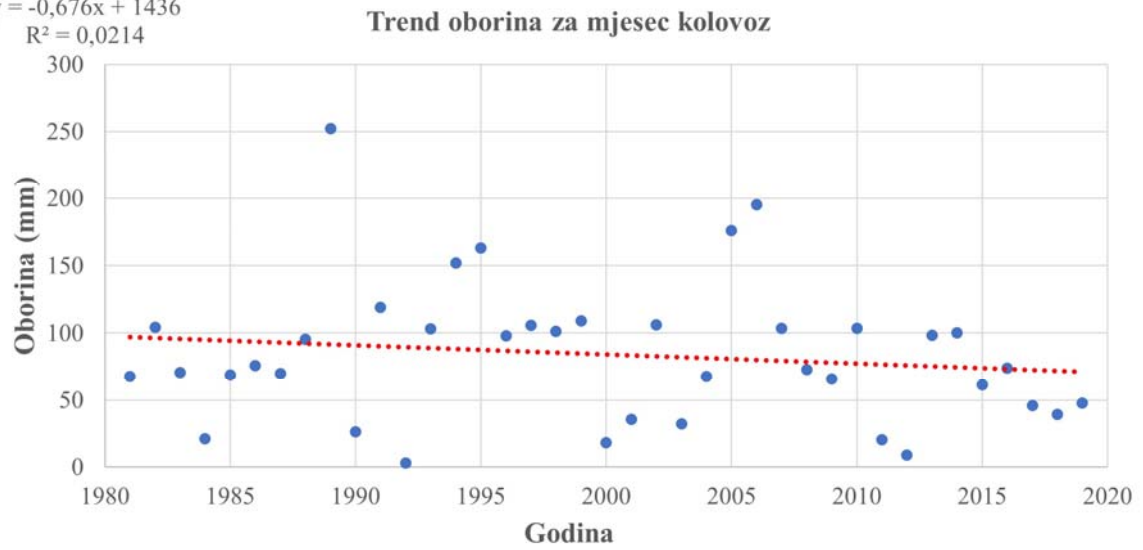
$$y = 0,0683x - 114,79$$
$$R^2 = 0,3644$$

Trend temperatura zraka za mjesec srpanj

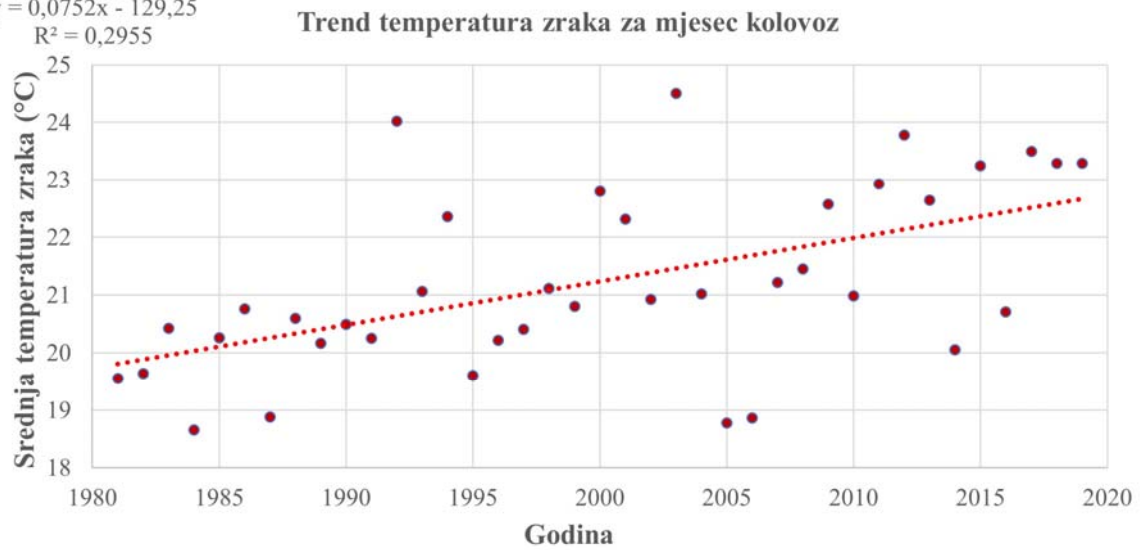


Slika 5.10. Trend oborina i temperatura zraka za mjesec srpanj

$$y = -0,676x + 1436$$
$$R^2 = 0,0214$$

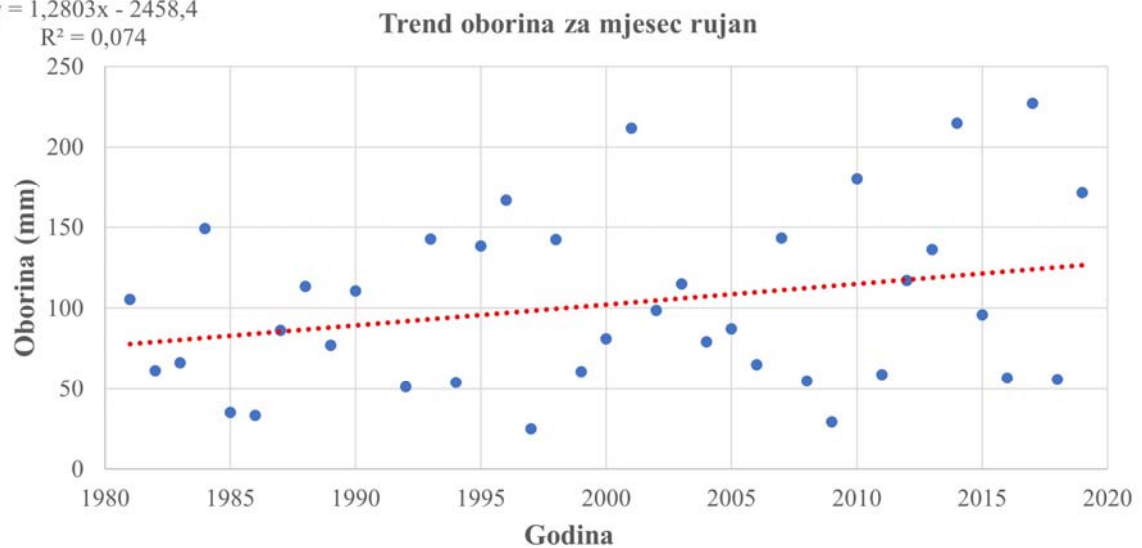


$$y = 0,0752x - 129,25$$
$$R^2 = 0,2955$$

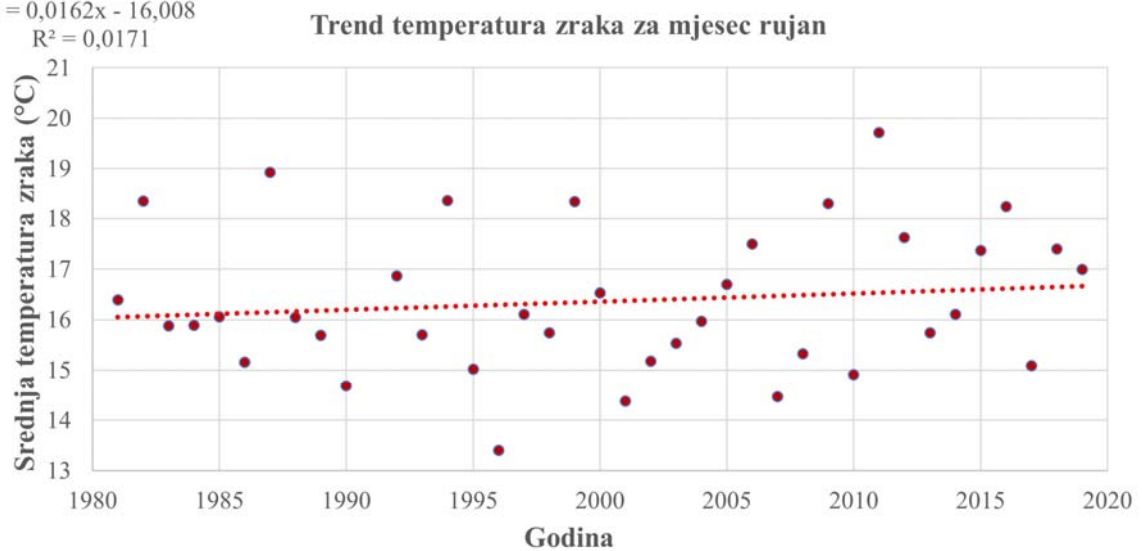


Slika 5.11. Trend oborina i temperatura zraka za mjesec kolovoz

$$y = 1,2803x - 2458,4$$
$$R^2 = 0,074$$



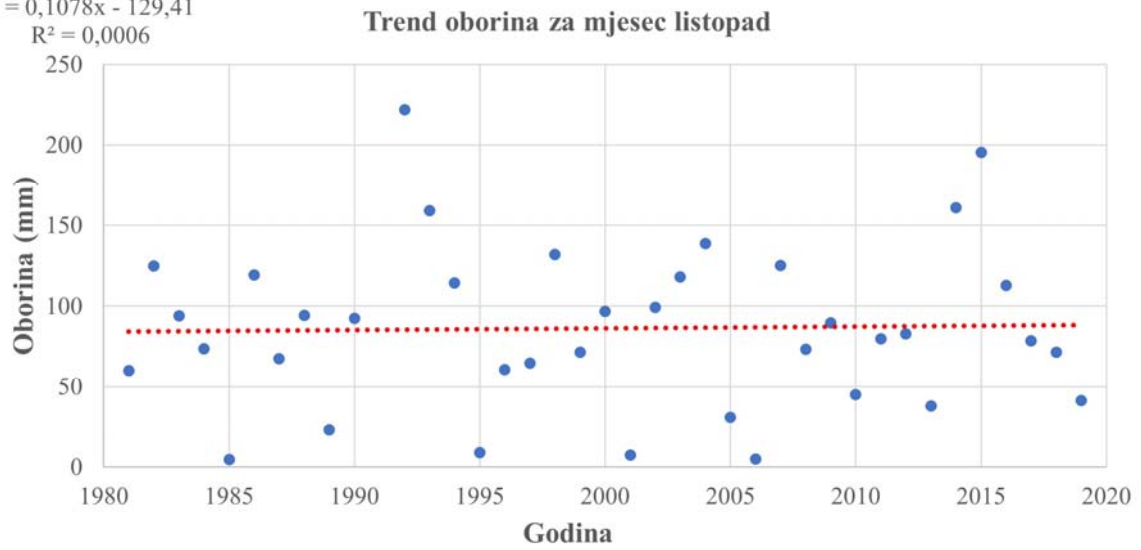
$$y = 0,0162x - 16,008$$
$$R^2 = 0,0171$$



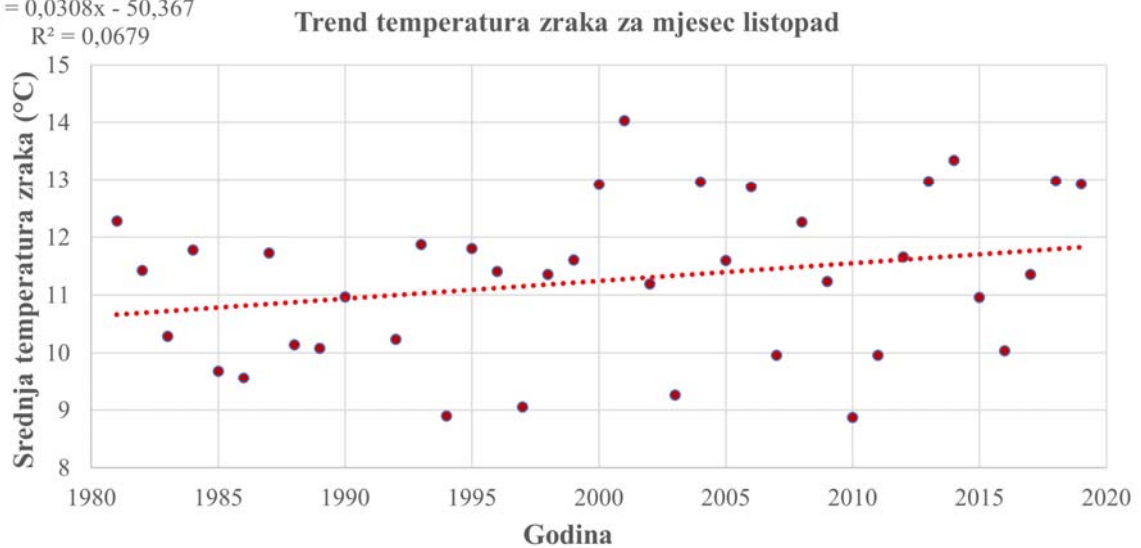
Slika 5.12. Trend oborina i temperatura zraka za mjesec rujan



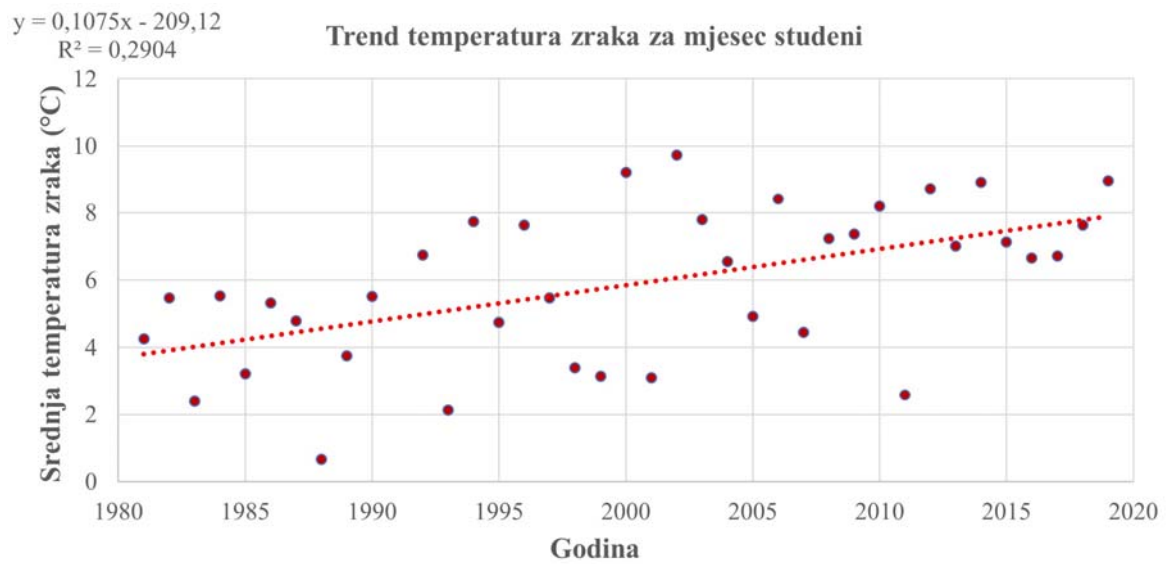
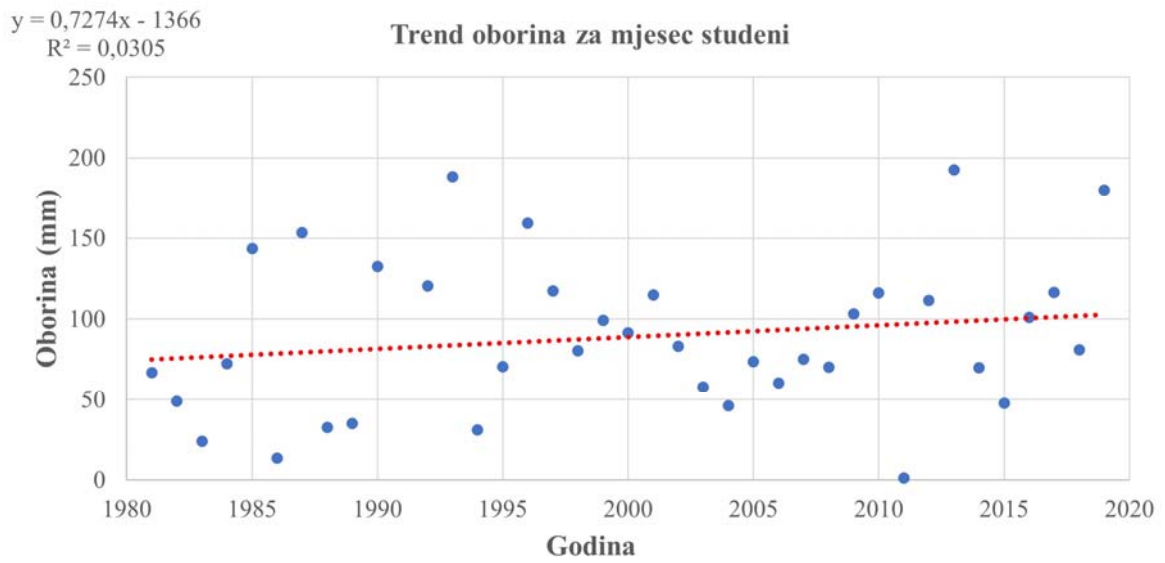
$$y = 0,1078x - 129,41$$
$$R^2 = 0,0006$$



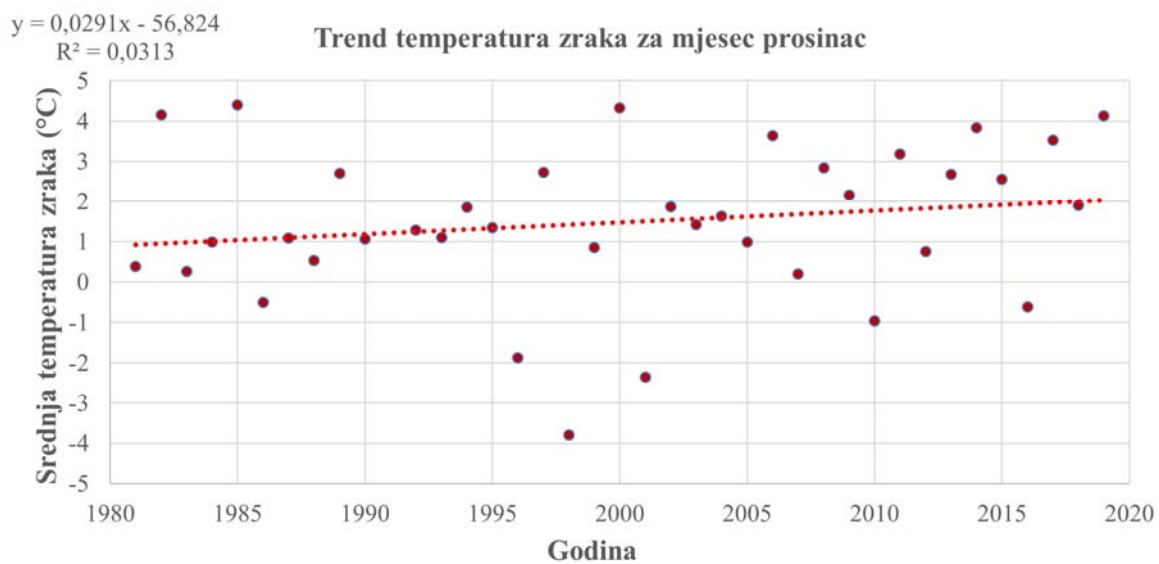
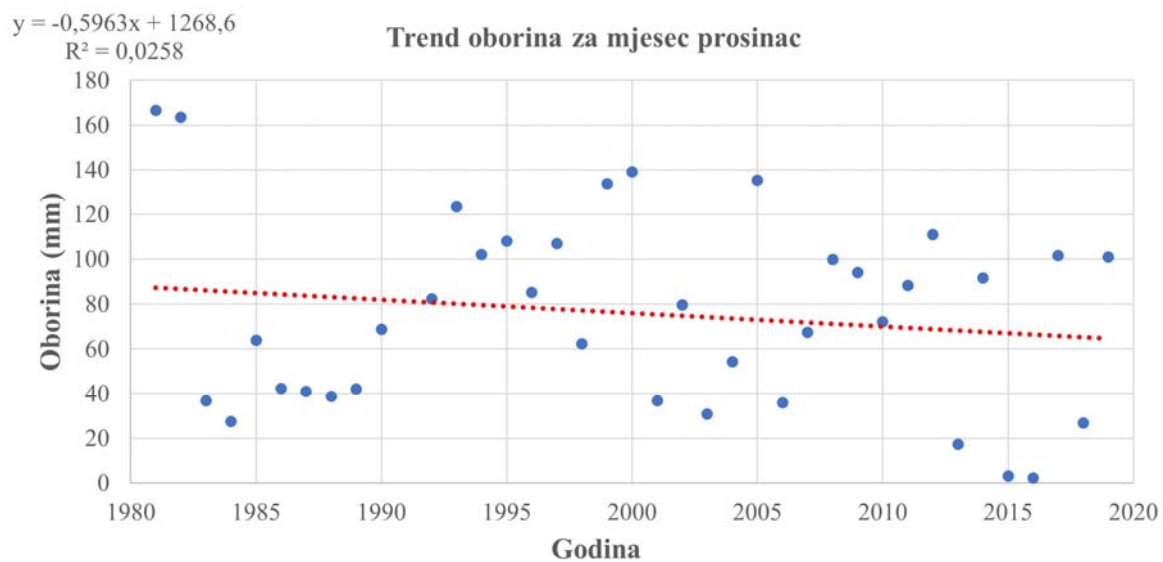
$$y = 0,0308x - 50,367$$
$$R^2 = 0,0679$$



Slika 5.13. Trend oborina i temperatura zraka za mjesec listopad



Slika 5.14. Trend oborina i temperatura zraka za mjesec studeni



Slika 5.15. Trend oborina i temperatura zraka za mjesec prosinac

Statistička značajnost trendova oborina i temperatura zraka testirana je pomoću Studentovog t-testa ( $\alpha=0,05$ ). Rezultati su prikazani u tablicama 5.3. i 5.4. P-vrijednosti za oborine po mjesecima (tablica 5.3.) veće su od  $\alpha=0,05$  što znači da rezultati nisu statistički značajni te trend ne postoji. Za temperature po mjesecima (tablica 5.4.) dobiveno je šest uzlaznih trendova u mjesecima: veljači, travnju, lipnju, srpnju, kolovozu i studenom.

Tablica 5.3. P-vrijednosti i trendovi oborina

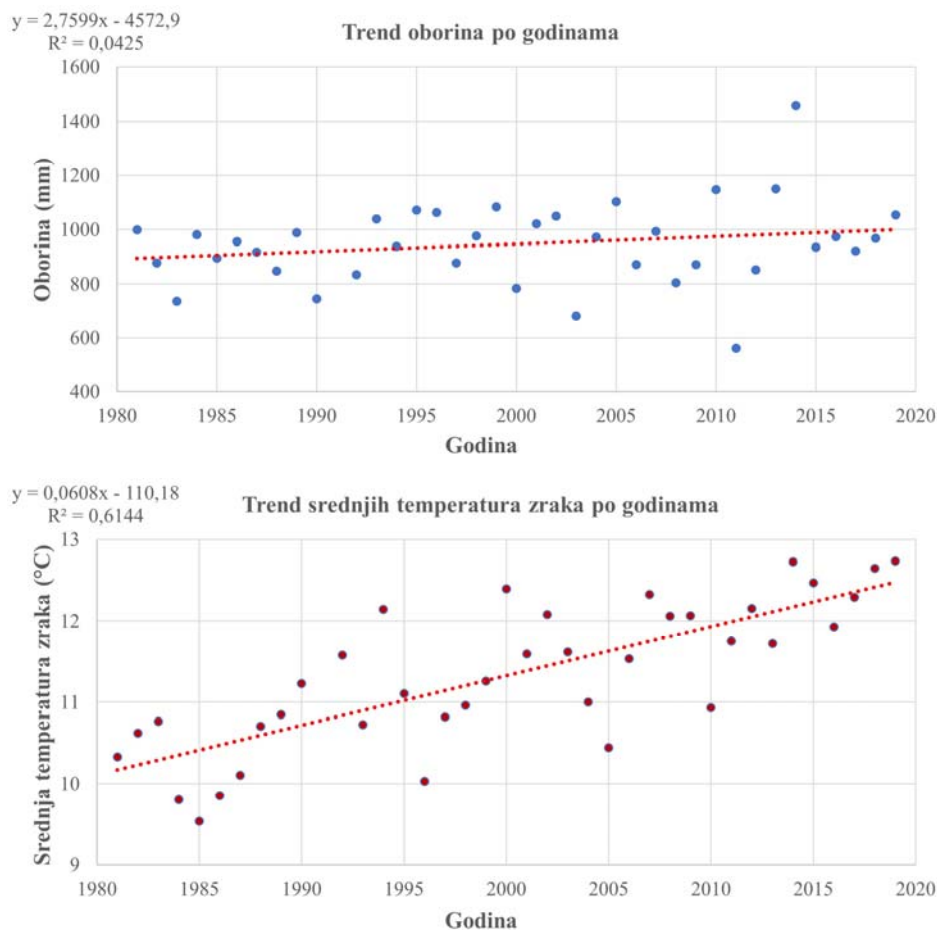
<b>Oborina</b>				
<b>Mjesec</b>	<b>P - vrijednost</b>	<b>Broj uzoraka</b>	<b>Statistička značajnost</b>	<b>Trend</b>
siječanj	0,516867878	39	-	-
veljača	0,122168217	39	-	-
ožujak	0,253982839	39	-	-
travanj	0,513688314	39	-	-
svibanj	0,545447471	39	-	-
lipanj	0,994598767	39	-	-
srpanj	0,285723149	39	-	-
kolovoz	0,374033318	39	-	-
rujan	0,098474246	38	-	-
listopad	0,884287808	38	-	-
studeni	0,294120761	38	-	-
prosinac	0,335753101	38	-	-

Tablica 5.4. P-vrijednosti i trendovi temperatura zraka

<b>Temperatura zraka</b>				
<b>Mjesec</b>	<b>P - vrijednost</b>	<b>Broj uzoraka</b>	<b>Statistička značajnost</b>	<b>Trend</b>
siječanj	0,052757982	39	-	-
veljača	0,041059745	39	+	Uzlazni
ožujak	0,071040304	39	-	-
travanj	0,000164063	39	+	Uzlazni
svibanj	0,147659694	39	-	-
lipanj	7,7121E-07	39	+	Uzlazni
srpanj	4,74115E-05	39	+	Uzlazni
kolovoz	0,000348588	39	+	Uzlazni
rujan	0,4340615	38	-	-
listopad	0,114011482	38	-	-
studeni	0,00048247	38	+	Uzlazni
prosinac	0,287913577	38	-	-

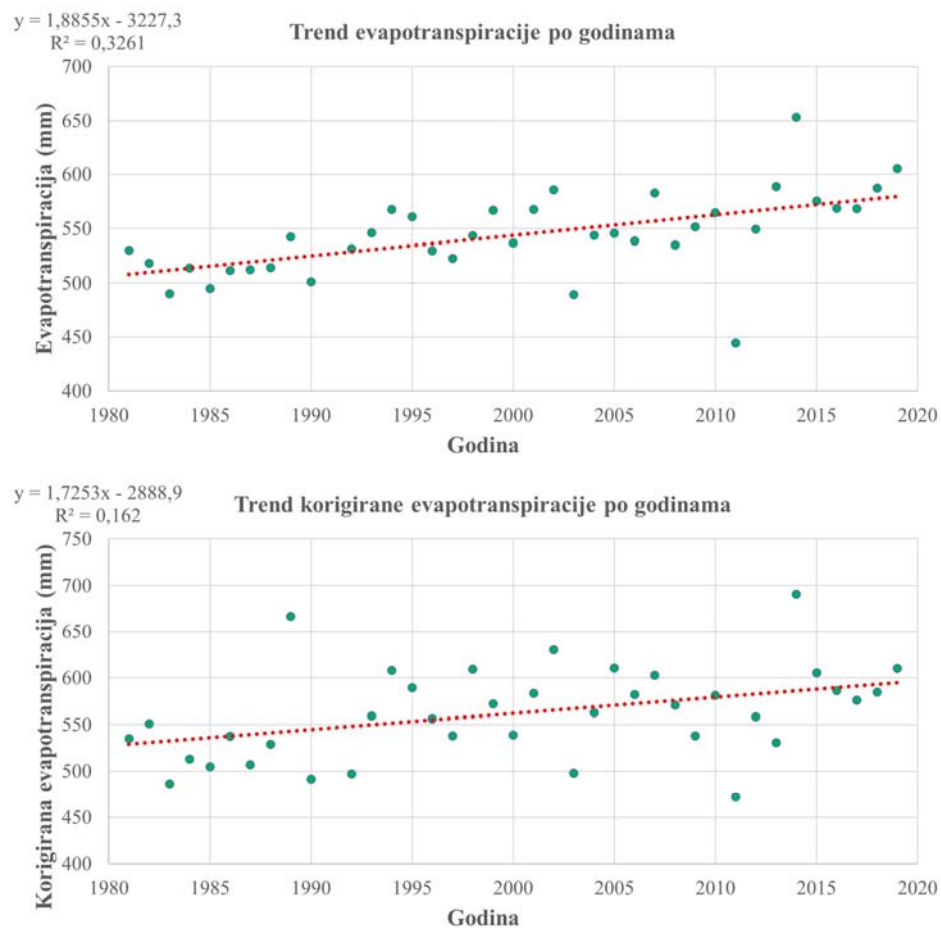
### 5.3. Godišnji trendovi oborina, temperatura zraka, evapotranspiracije i maksimalne dostupne vode za infiltraciju

U ovom poglavlju prikazani su godišnji trendovi ukupnih oborina, srednjih temperatura zraka, evapotranspiracije/korigirane evapotranspiracije te maksimalne dostupne vode za infiltraciju. Zbog nedostatka podataka 1991. godina nije korištena za izračun godišnjih trendova. Radi bolje vizualne preglednosti ispuna točaka na grafu godišnjeg trenda oborina je plave boje, godišnjeg trenda temperatura zraka je crvene boje, godišnjeg trenda evapotranspiracije je zelene boje i godišnjeg trenda maksimalne raspoložive vode za infiltraciju je žute boje. Na slici 5.16. prikazan je trend ukupnih oborina i trend srednjih temperatura zraka na godišnjoj bazi u razdoblju od 1981. godine do 2019. godine. Trend srednjih temperatura zraka je uzlazan i statistički značajan. Statistička značajnost testirana je pomoću Studentovog t-testa ( $\alpha=0,05$ ). Rezultati su prikazani u tablici 5.5.



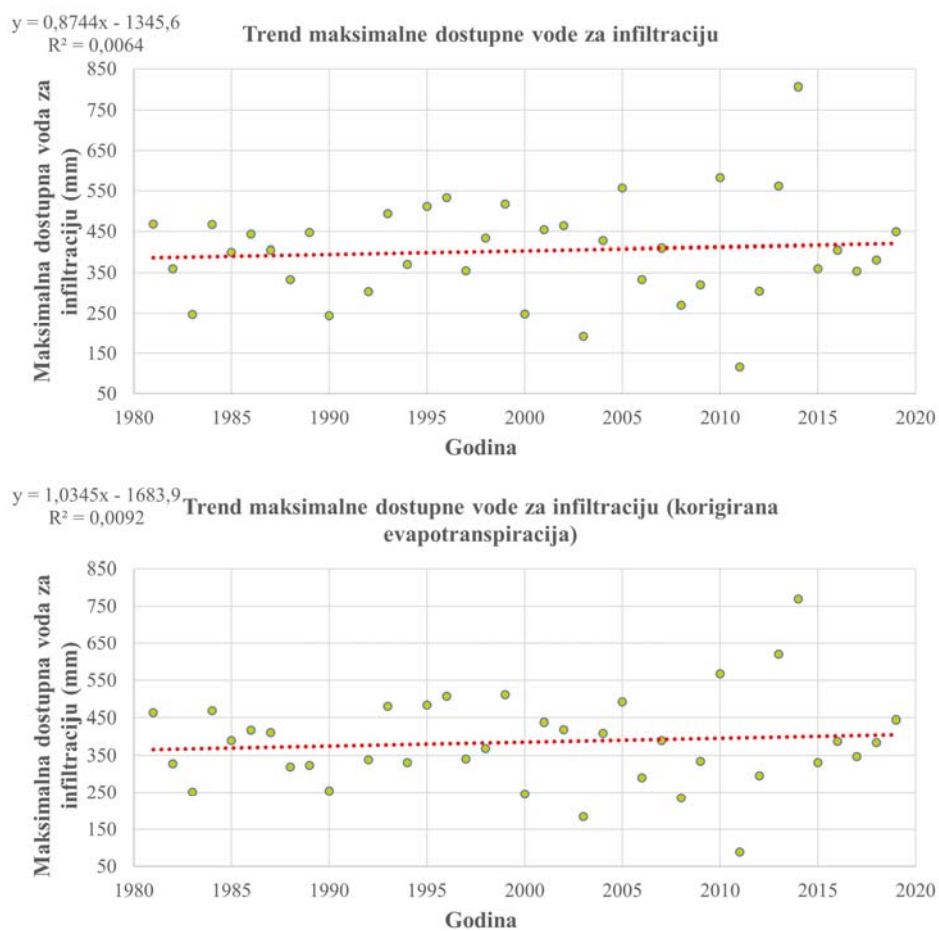
Slika 5.16. Trend ukupnih oborina i trend srednjih godišnjih temperatura zraka u razdoblju od 1981. godine do 2019. godine

Na slici 5.17. prikazan je trend evapotranspiracije i korigirane evapotranspiracije na godišnjoj razini u razdoblju od 1981. godine do 2019. godine. Trendovi su statistički značajni i uzlazni.



Slika 5.17. Trend evapotranspiracije i korigirane evapotranspiracije u razdoblju od 1981. godine do 2019. godine

Na slici 5.18. prikazan je trend maksimalne raspoložive vode za infiltraciju na godišnjoj razini u razdoblju od 1981. godine do 2019. godine.



Slika 5.18. Trendovi maksimalne dostupne vode za infiltraciju

Tablica 5.5. P-vrijednosti i trendovi oborina, temperatura zraka, evapotranspiracije i maksimalne raspoložive vode za infiltraciju

<b>Oborine, temperatura zraka, evapotranspiracija i maksimalna dostupna voda za infiltraciju</b>				
<b>Varijabla</b>	<b>P - vrijednost</b>	<b>Broj uzoraka</b>	<b>Statistička značajnost</b>	<b>Trend</b>
Oborina	0,214123834	38	-	-
Temperatura zraka	5,88236E-09	38	+	Uzlazni
Evapotranspiracija	0,000181008	38	+	Uzlazni
Korigirana evapotranspiracija	0,012229217	38	+	Uzlazni
Maksimalna dostupna voda za infiltraciju	0,632936755	38	-	-
Maksimalna dostupna voda za infiltraciju (korigirana evapotranspiracija)	0,567797728	38	-	-



## 6. Zaključak

Na dobivenim i izračunatim podacima napravljena je regresijska analiza i testirana je statistička značajnost pomoću studentovog testa u Microsoft Office Excelu. Dobiveno je 13 trendova za ukupne oborine, 13 trendova za srednje temperature zraka, jedan trend evapotranspiracije/korigirane evapotranspiracije i jedan trend maksimalne raspoložive vode za infiltraciju.

Za temperature zraka dobiveno je šest uzlaznih i statistički značajnih trendova u mjesecima: veljači, travnju, lipnju, srpnju, kolovozu i studenom. Na godišnjoj razini dobiven je uzlazni trend, te je on također statistički značajan. Isto tako za evapotranspiraciju/korigiranu evapotranspiraciju na godišnjoj razini dobiven je uzlazni i statistički značajan trend. Uzlazni trend na godišnjoj razini ukazuje na povećanje temperature zraka i evapotranspiracije kroz istraživano vremensko razdoblje. Kod oborina i maksimalne raspoložive vode dostupne za infiltraciju nije primijećena statistička značajnost rezultata. Obzirom da za oborine i maksimalnu raspoloživu vodu za infiltraciju trend ne postoji, ne može se procijeniti kako će se količina oborina i maksimalne dostupne vode za infiltraciju kretati u nadolazećim godinama.

Na usporednom grafičkom prikazu godišnjih podataka 2014. godina karakteristična je kao godina s najvišom srednjom temperaturom zraka (uz koju je i 2019. godina sa istom srednjom godišnjom temperaturom zraka) te što se tiče oborina i kao najobilnija, pa je uz to u 2014. godini i evapotranspiracija/korigirana evapotranspiracija kao i maksimalna dostupna voda za infiltraciju najviša. Kao najhladnija zabilježena je 1985. godina, dok najniža količina oborina i najniži rezultati evapotranspiracije/korigirane evapotranspiracije i maksimalne dostupne vode za infiltraciju za 1991. godinu nisu reprezentativni zbog nedostatka podataka za razdoblje od rujna do prosinca 1991. godine. 2011. godina zabilježena je kao godina s izrazito niskom količinom oborina pa zbog toga i maksimalnom dostupnom vodom za infiltraciju.

Praćenje količina oborina, evapotranspiracije i konačno maksimalne raspoložive vode za infiltraciju vrlo je važno jer će se upravo dio te maksimalne raspoložive vode procijediti do vodnog lica i obnavljati zalihe podzemnih voda te prihranjivati zagrebački vodonosnik.

## 7. Literatura

1. BAČANI, A., 2006. Hidrogeologija I. Rudarsko-geološko-naftni fakultet Sveučilišta u Zagrebu, Zagreb, str. 36-42.
2. BAČANI, A., POSAVEC, K., 2009. Elaborat zaštitnih zona vodocrpilišta Velika Gorica. Rudarsko-geološko-naftni fakultet Sveučilišta u Zagrebu, Zagreb, str. 77.
3. BASCH, O., 1981. Osnovna geološka karta SFRJ 1:100000, list Ivanić Grad L 33-81 [Basic Geologic Map of SFRY 1:100000, Ivanić-Grad sheet – in Croatian].– Geološki zavod, Zagreb, Savezni geološki zavod, Beograd.
4. IVANKOVIĆ, D. i sur., 1989. Osnove statističke analize za medicinare. Zagreb: Medicinski fakultet Sveučilišta u Zagrebu.
5. KUKOLJA, A., PLAZONIĆ, D., 2018. Klorirana otapala - trikloreten i tetrakloreten u podzemnoj vodi i vodi za piće vodocrpilišta Sašnak – sustav javne vodoopskrbe grada Zagreba. Rad za rektorovu nagradu. Rudarsko-geološko-naftni fakultet Sveučilišta u Zagrebu, Zagreb, str. 6.
6. POSAVEC, K., 2006. Identifikacija i prognoza minimalnih razina podzemne vode zagrebačkoga aluvijalnog vodonosnika modelima recesijskih krivulja. Zagreb: Disertacija, RGN fakultet
7. ŠIKIĆ, K., 1979. Osnovna geološka karta SFRJ 1:100.000. Tumač za list Zagreb, L 33–80 (Basic geological map 1:100.000, Geology of the Zagreb sheet).– Institut za geološka istraživanja, Zagreb (1972), Savezni geološki zavod, Beograd.
8. URUMOVIĆ, K., MIHELČIĆ, D., 2000. Podzemne vode savskog vodonosnika. Hidrologija i vodni resursi Save u novim uvjetima zbornik radova. Slavonski Brod: Okrugli stol.
9. VELIĆ, J., DURN, G., 1993. Alternating Lacustrine-Marsh Sedimentation and Subaerial Exposure Phases during Quaternary: Prečko, Zagreb, Croatia. *Geologia Croatica*, 46(1), str. 71-90.
10. VELIĆ, J., SAFTIĆ, B., 1991. Subsurface Spreading and Facies Characteristics of Middle Pleistocene Deposits between Zaprešić and Samobor. *Geološki vjesnik*, 44, str. 69-82.

## WEB IZVORI:

1. BAČANI, A., POSAVEC, K., 2014. Elaborat o zonama zaštite izvorišta Grada Zagreba, RGN fakultet Sveučilišta u Zagrebu, Zavod za geologiju i geološko inženjerstvo. URL: [https://eko.zagreb.hr/UserDocsImages/arhiva/dokumenti/Okoli%C5%A1/Voda/Elaborat\\_o\\_zonama\\_zastite\\_novi.pdf](https://eko.zagreb.hr/UserDocsImages/arhiva/dokumenti/Okoli%C5%A1/Voda/Elaborat_o_zonama_zastite_novi.pdf) (13.4.2020.)
2. CROMETEO  
URL: <https://www.crometeo.hr/klima/> (7.4.2020.)
3. DRŽAVNI HIDROMETEOROLOŠKI ZAVOD (DHMZ)  
URL: <https://meteo.hr/> (7.4.2020.)
4. MATHOS, 2018. Regresijska analiza.  
URL: [http://www.mathos.unios.hr/ptfstatistika/Vjezbe/materijali\\_7.pdf](http://www.mathos.unios.hr/ptfstatistika/Vjezbe/materijali_7.pdf) (7.4.2020.)
5. PMF, 2018. Regresijska analiza. URL: <http://www.pmf.unizg.hr/download/repository/PREDAVANJE11.pdf> (7.4.2020.)



KLASA: 602-04/19-01/362  
URBROJ: 251-70-03-20-3  
U Zagrebu, 23.04.2020.

**Sara Bačeković, studentica**

## RJEŠENJE O ODOBRENJU TEME

Na temelju Vašeg zahtjeva primljenog pod KLASOM 602-04/19-01/362, UR. BROJ: 251-70-13-19-1 od 19.12.2019. godine priopćujemo temu završnog rada koja glasi:

### IZRAČUN TRENDOVA OBORINA I TEMPERATURA NA METEOROLOŠKOJ POSTAJI PLESO U ZAGREBU


Za voditelja ovog završnog rada imenuje se u smislu Pravilnika o završnom ispitu dr. sc. Zoran Kovač, docent Rudarsko-geološko-naftnog fakulteta Sveučilišta u Zagrebu.

**Voditelj**  
  
(potpis)

Doc. dr. sc. Zoran Kovač

(titula, ime i prezime)

**Predsjednik povjerenstva za  
završne i diplomske ispite**

  
(potpis)

Izv. prof. dr. sc. Stanko Ružičić

(titula, ime i prezime)

**Prodekan za nastavu i  
studente**  


(potpis)

Izv. prof. dr. sc. Dalibor Kuhinek

(titula, ime i prezime)